

Origine et composition de la matière organique littorale à l'échelle de la Métropole en lien avec les apports telluriques

N. Savoye



MOP : matière organique particulière
= matière particulière vivante ou d'origine vivante

Diversité des sources et flux de MOP en zone côtière

Fleuve

Zone côtière

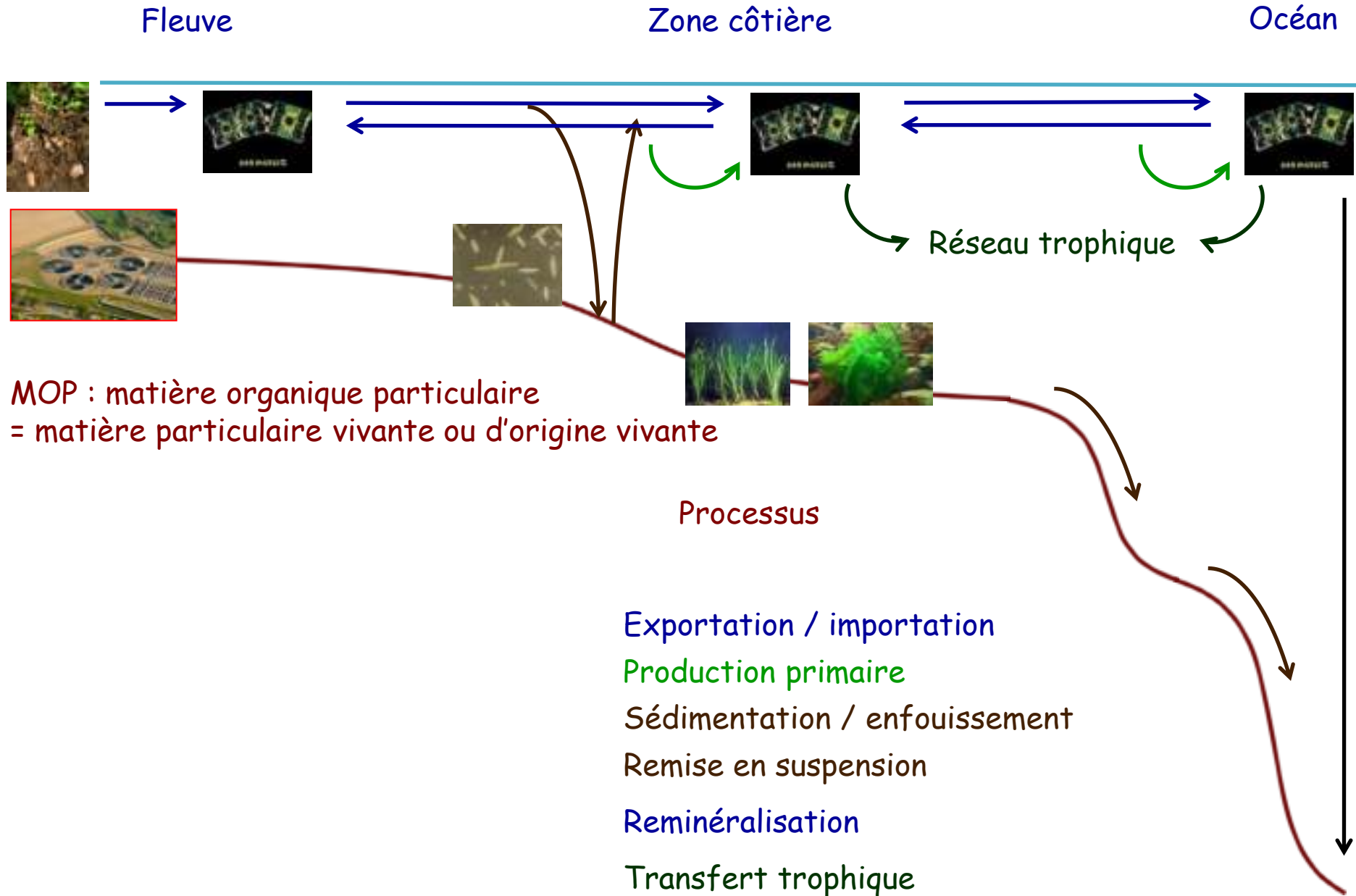
Océan



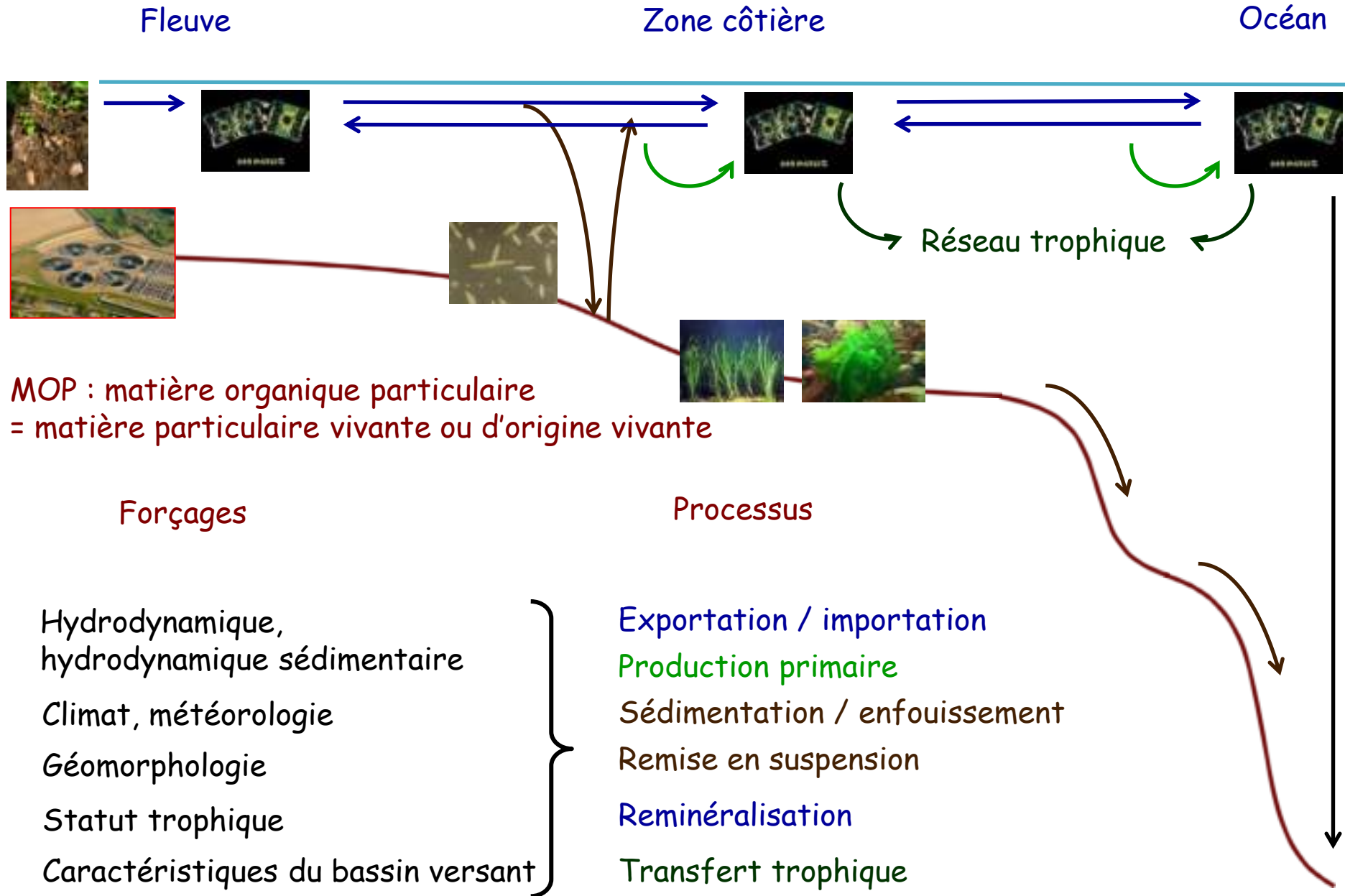
MOP : matière organique particulière
= matière particulière vivante ou d'origine vivante



Diversité des sources et flux de MOP en zone côtière



Diversité des sources et flux de MOP en zone côtière

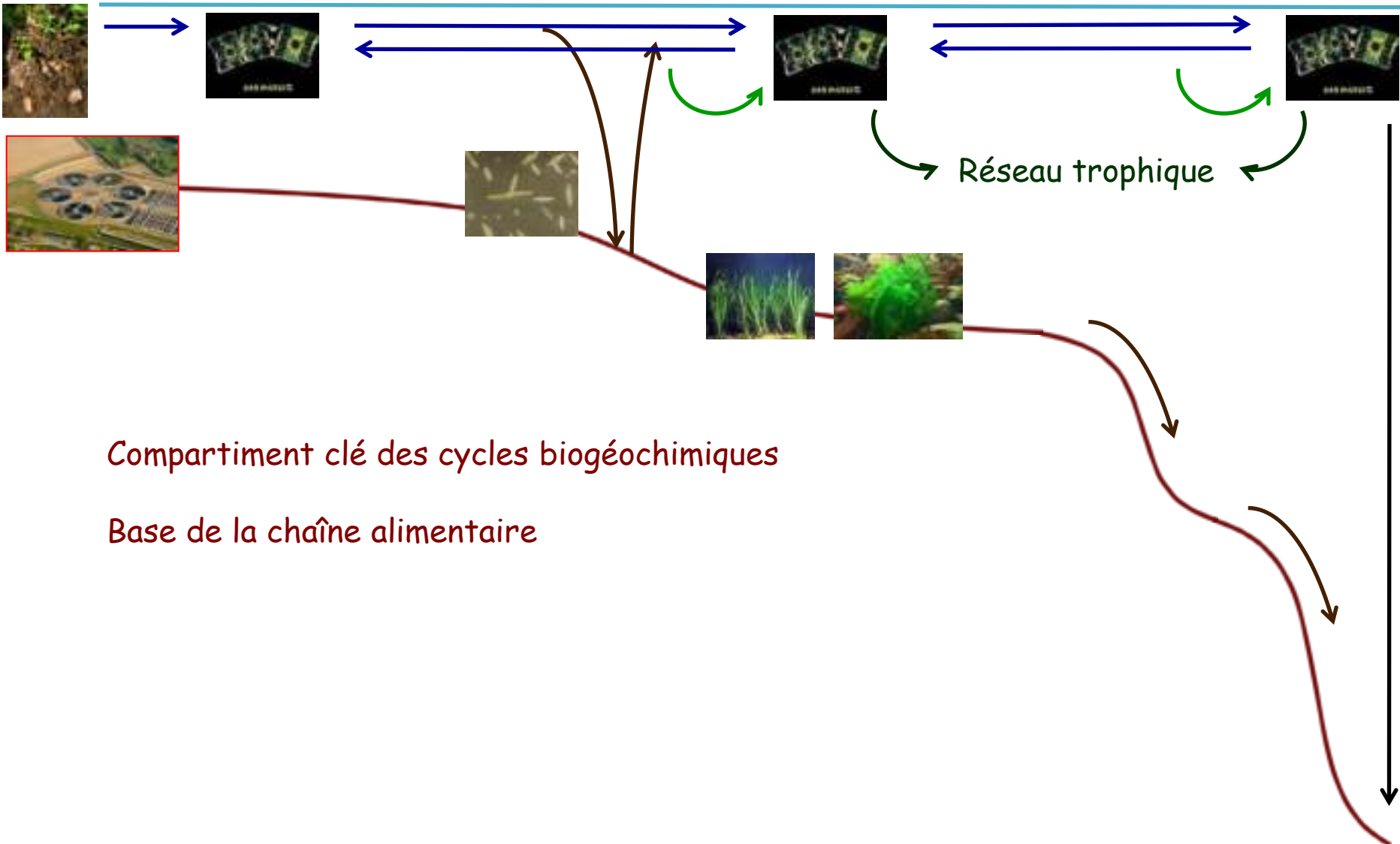


Rôle de la MOP dans les écosystèmes aquatiques

Fleuve

Zone côtière

Océan



Objectifs

Quantifier les contributions des différentes sources à la composition de la MOP

Mettre en évidence les forçages environnementaux pouvant expliquer les variations spatio-temporelles de cette composition

Echelle intra-écosystémique

Echelle multi-écosystémique

Mettre en évidence une typologie d'écosystèmes

Approche et études

Approche isotopique ($\delta^{13}\text{C}$, $\delta^{15}\text{N}$) et élémentaire (C/N) + modèle de mélange

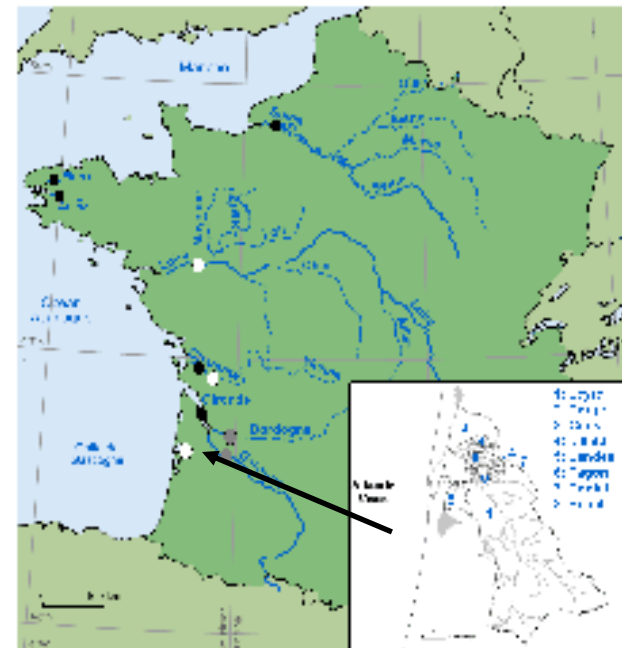
Zones côtières



Thèse C. Liénart (2017)

Liénart et al. (2016, 2017, 2018)

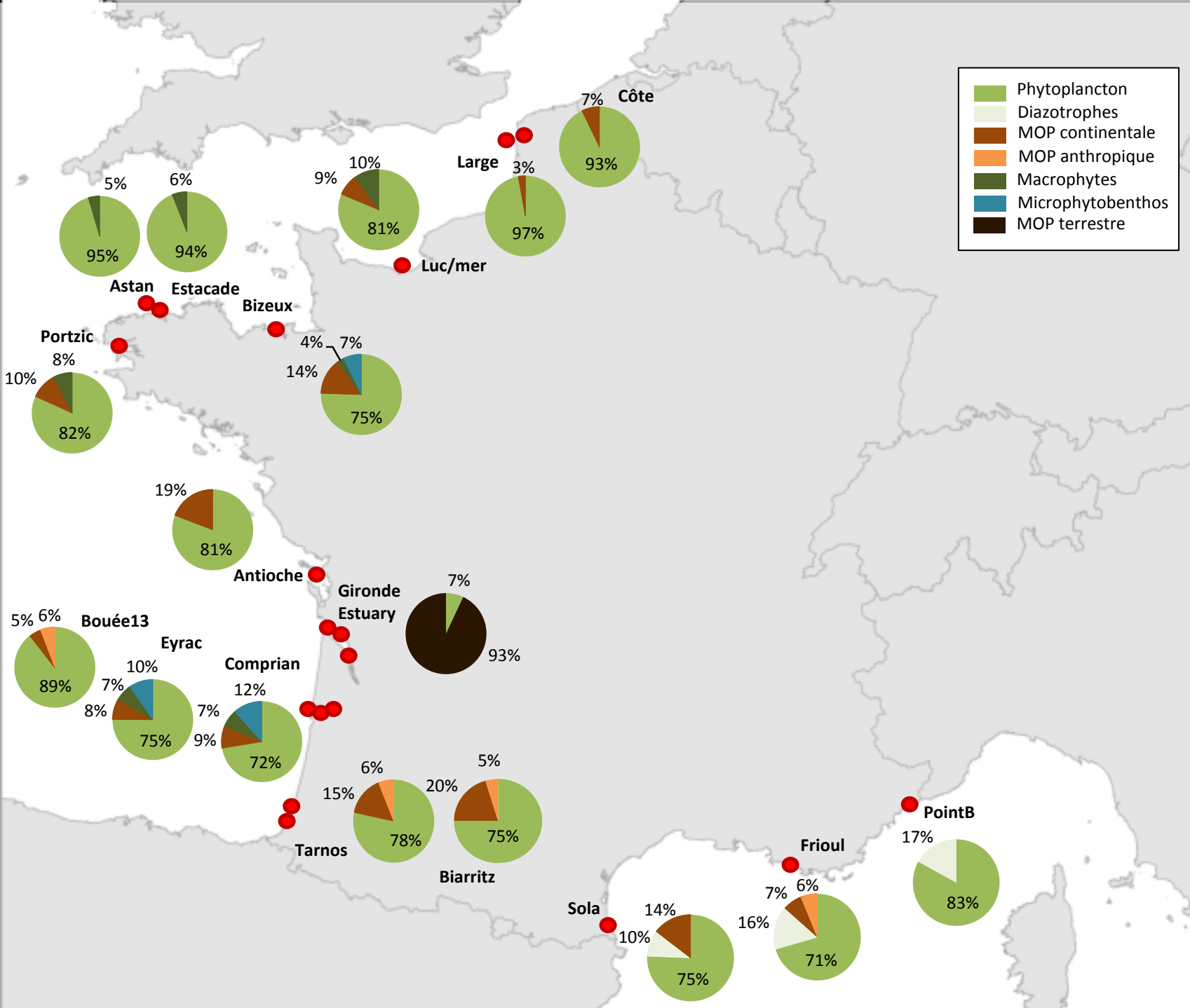
Estuaires

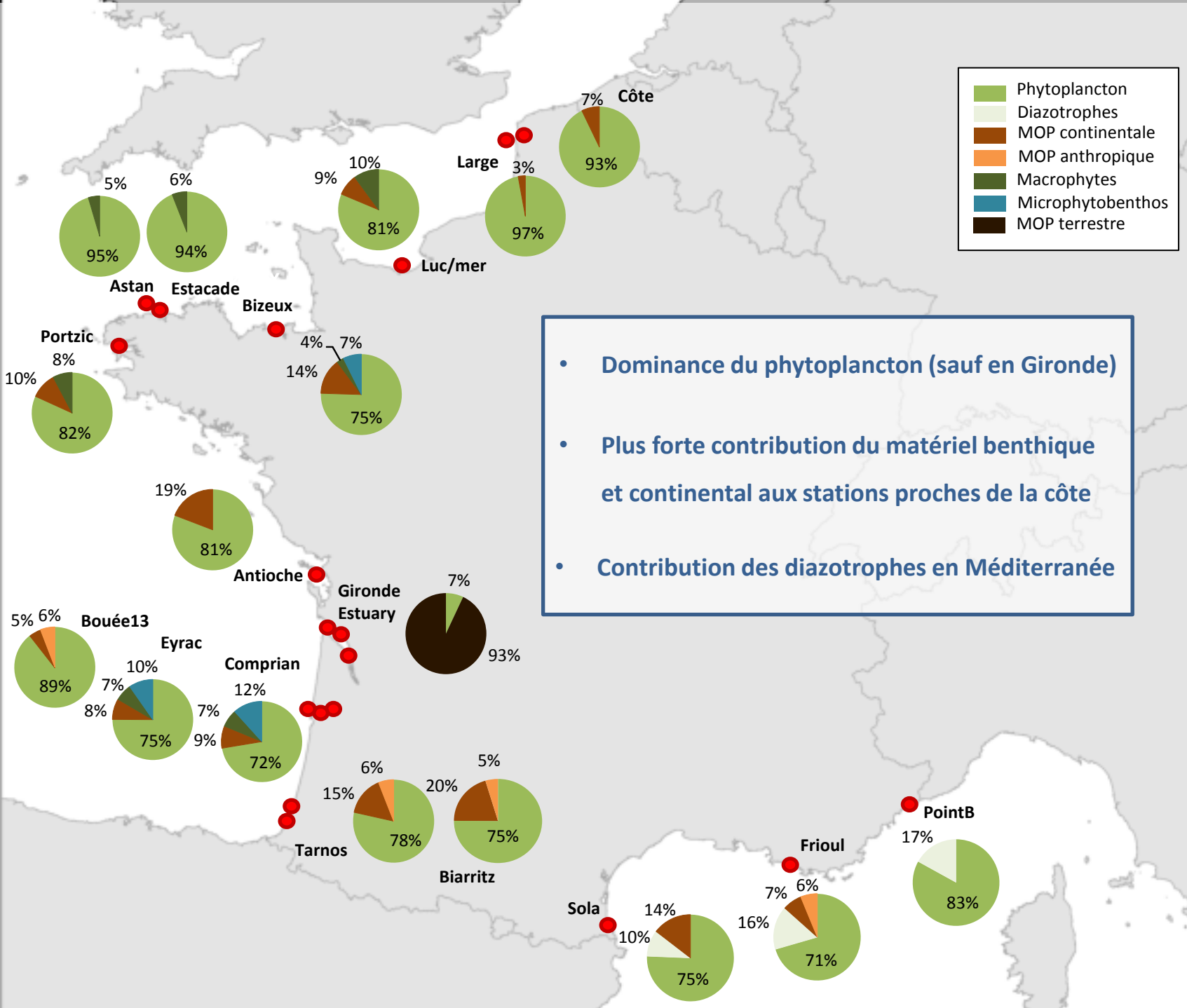


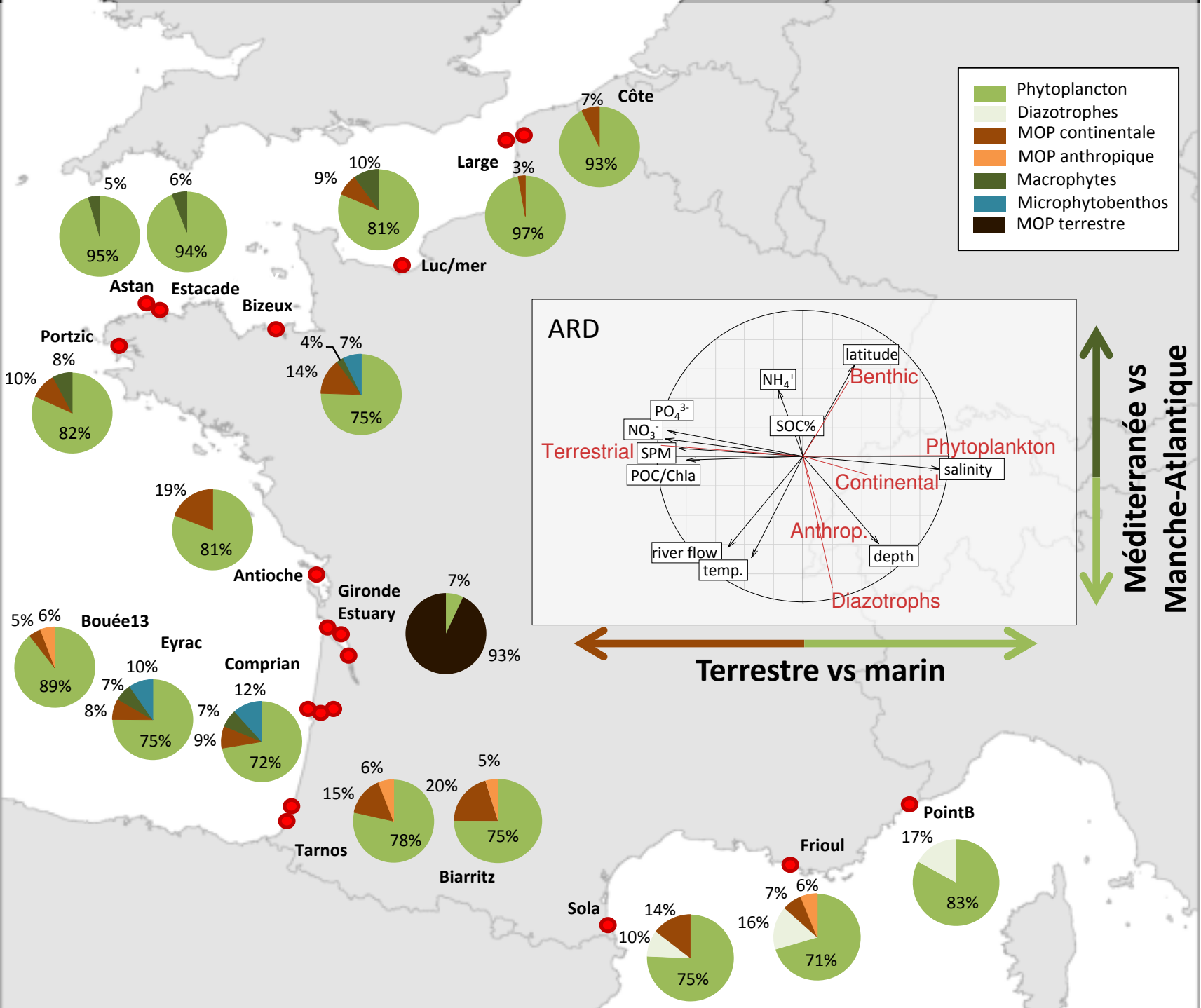
M2 H. de Lary de Latour (2014)

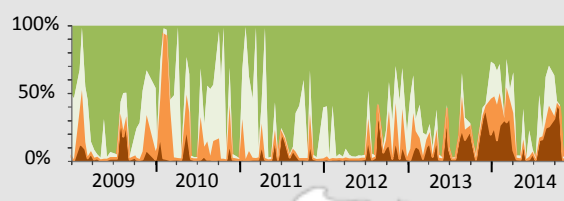
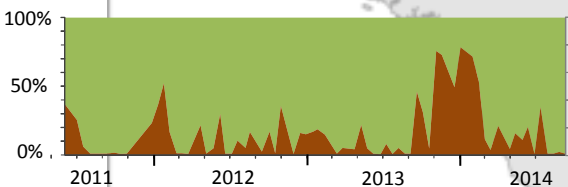
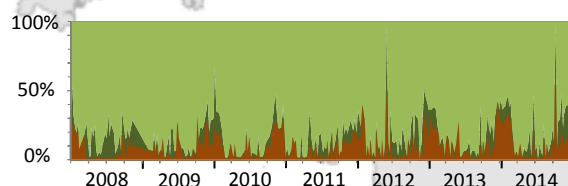
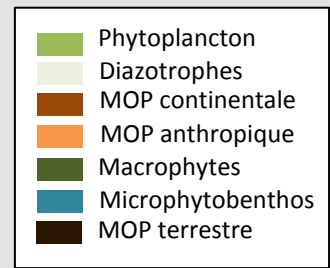
Données issues des thèses de S. Dubois, P. Polsenaere, F. Dindinaud, J. Modéran, N. Savoye

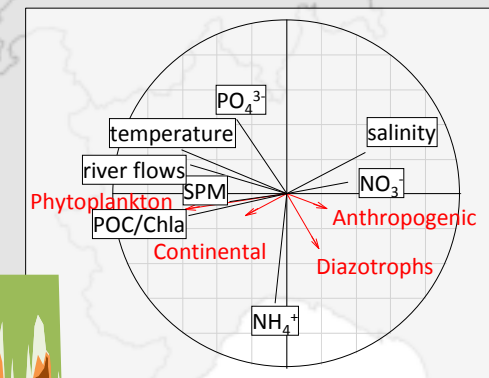
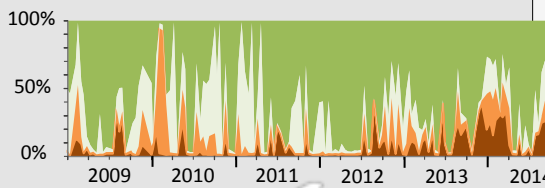
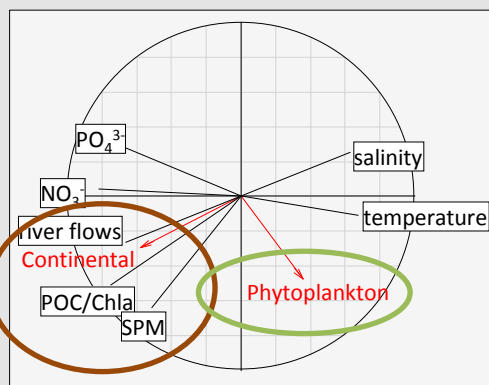
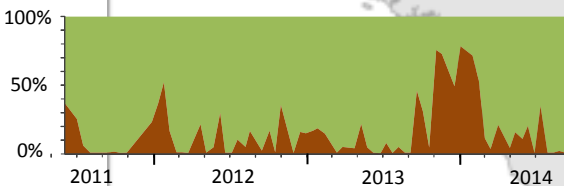
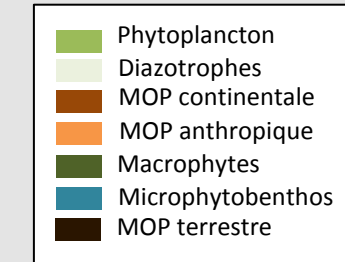
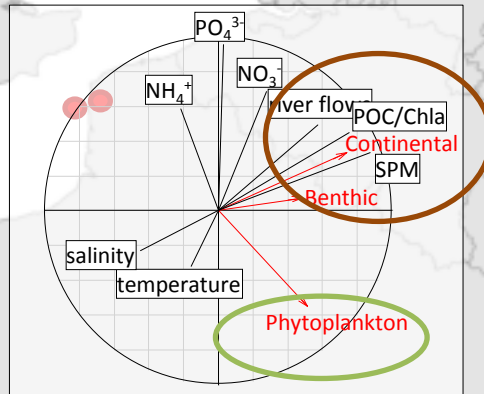
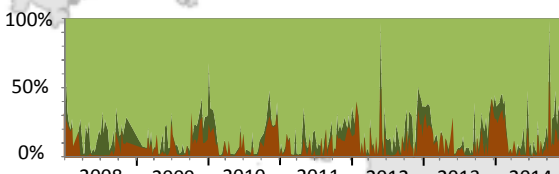
Large diversité d'écosystèmes et de forçages potentiels

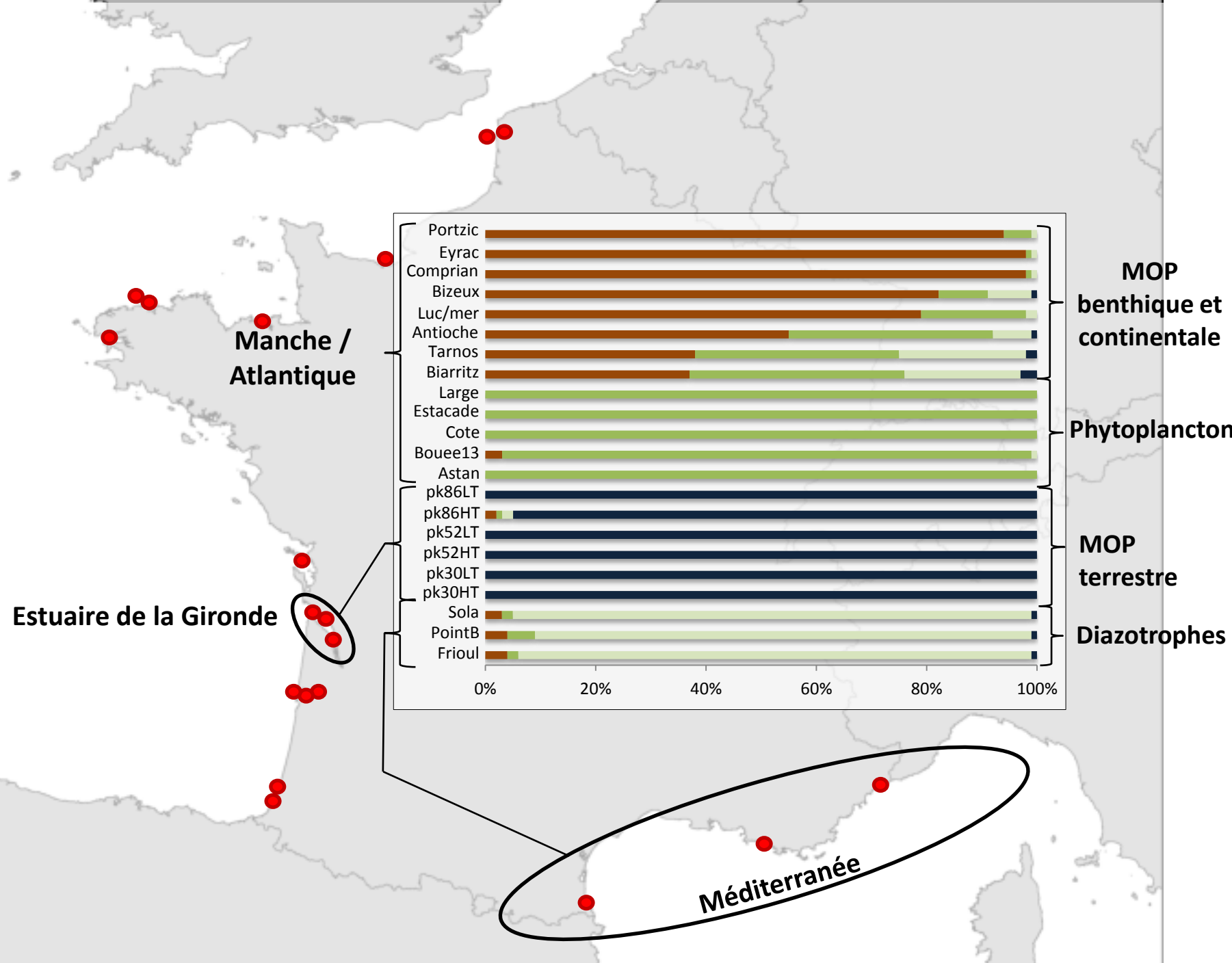












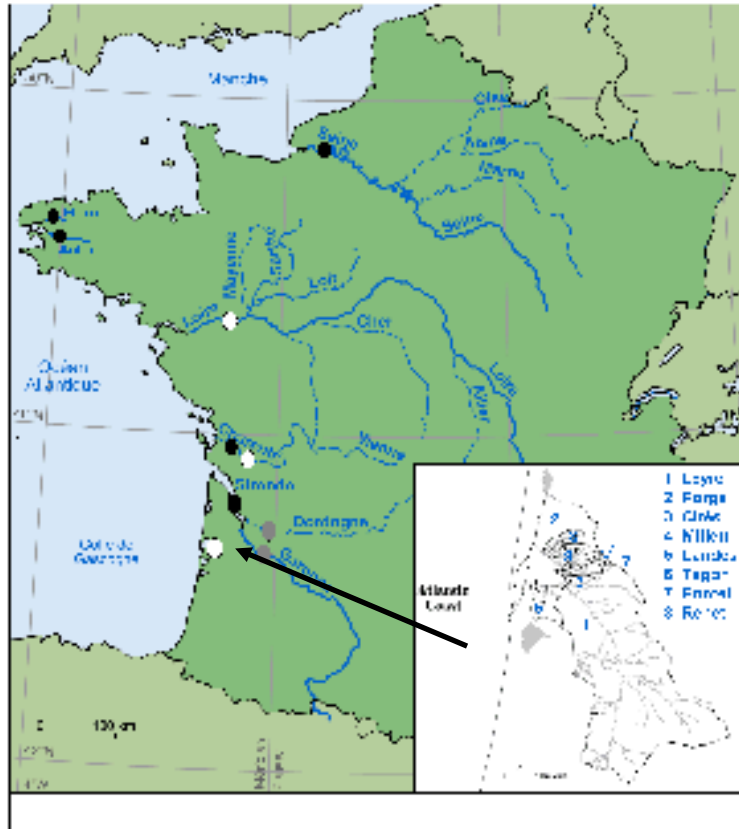
MOP estuarienne

Estuaires salins



Seine
Elorn
Aulne
Charente
Gironde

Gradient salin
Echantillonnage
mensuel à saisonnier

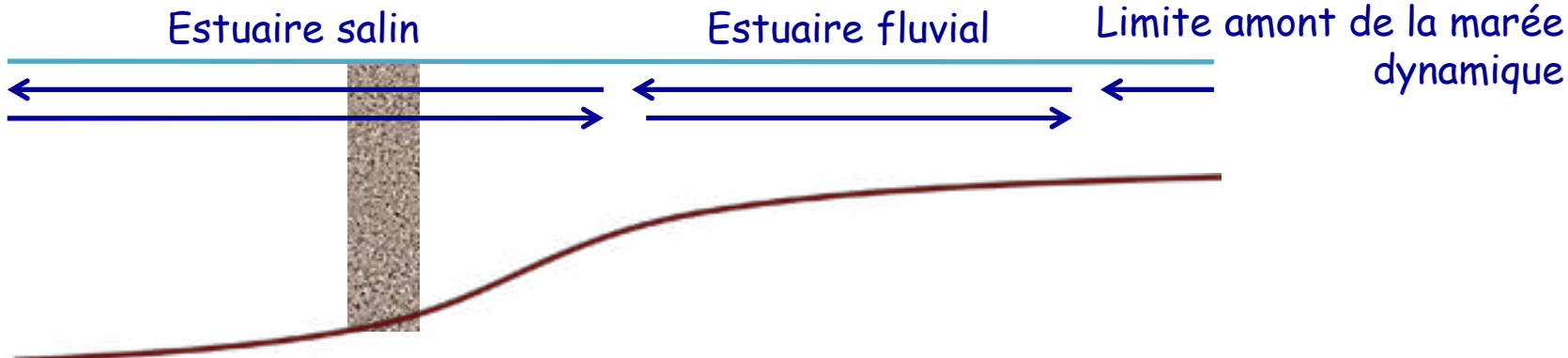


Estuaires Fluviaux



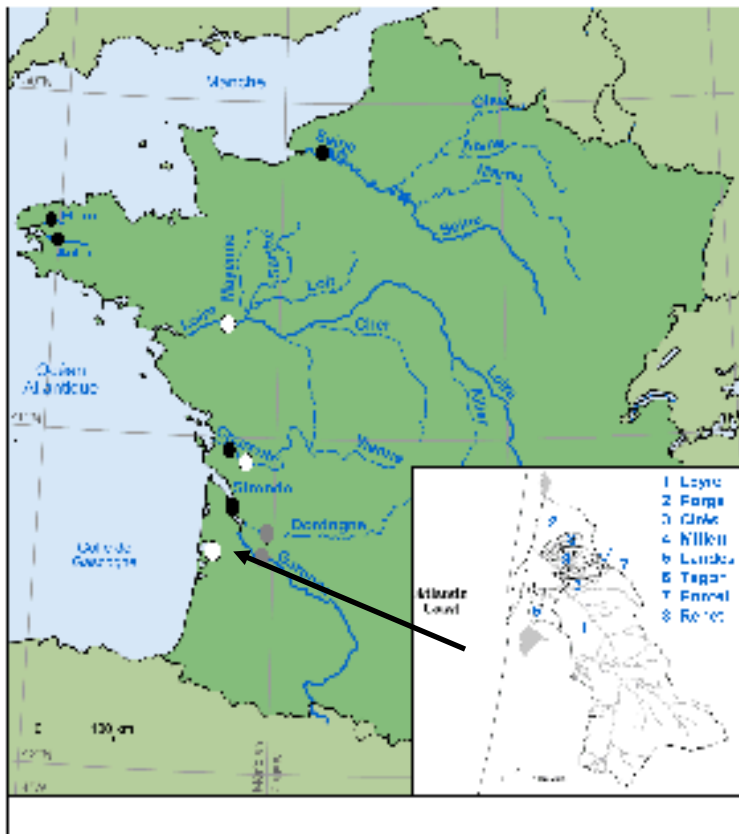
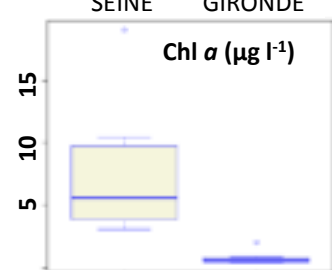
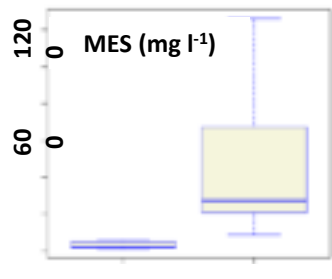
Loire, Charente,
Dordogne, Garonne
Leyre, Porge, Lanton,
Milieu, Canal des
Landes, Cirès, Tagon,
Ponteil, Renet

Une station
Echantillonnage
mensuel à di-mensuel

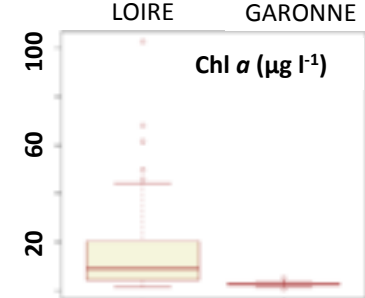
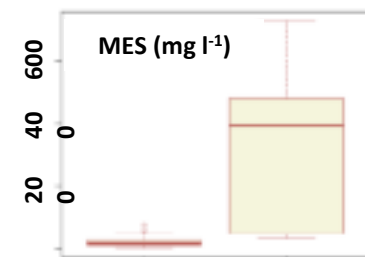


MOP estuarienne

Estuaires salins



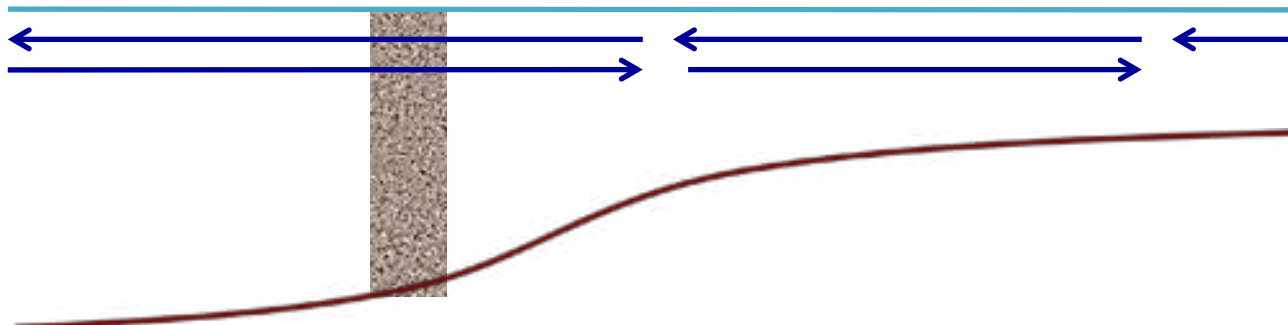
Estuaires Fluviaux



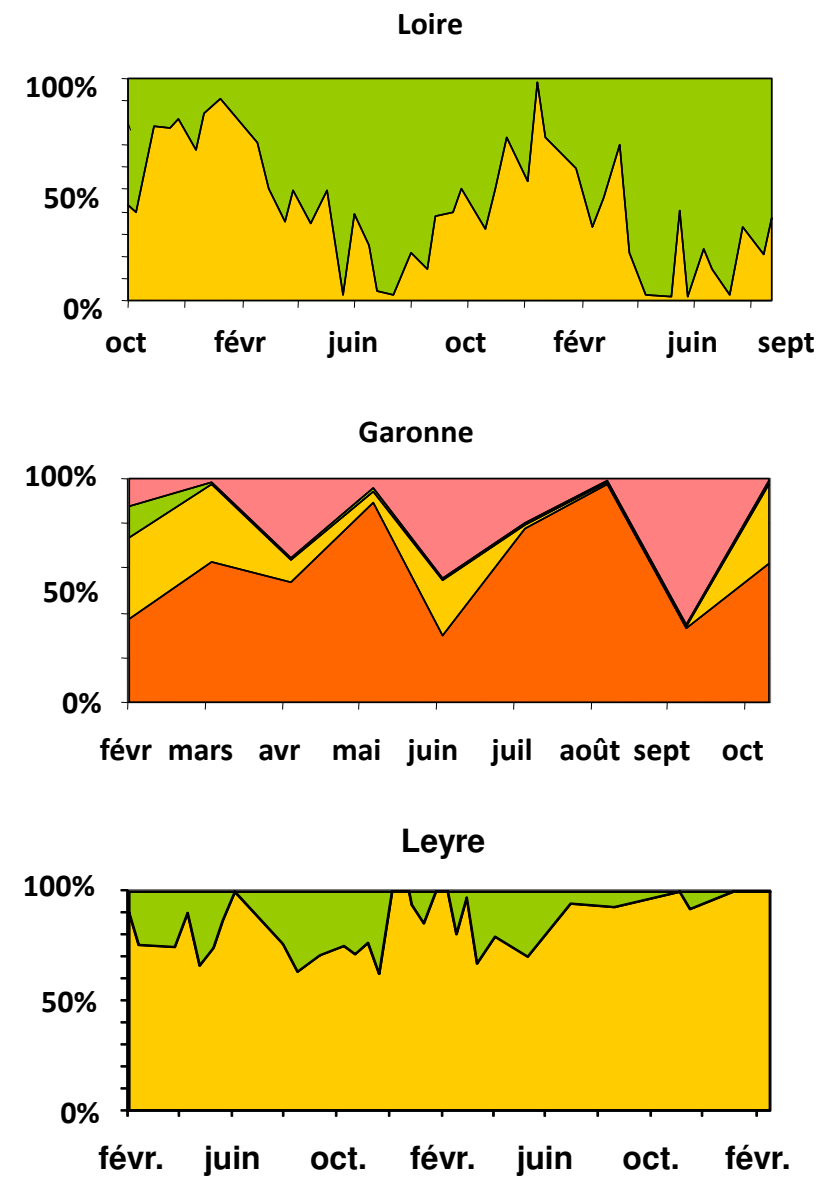
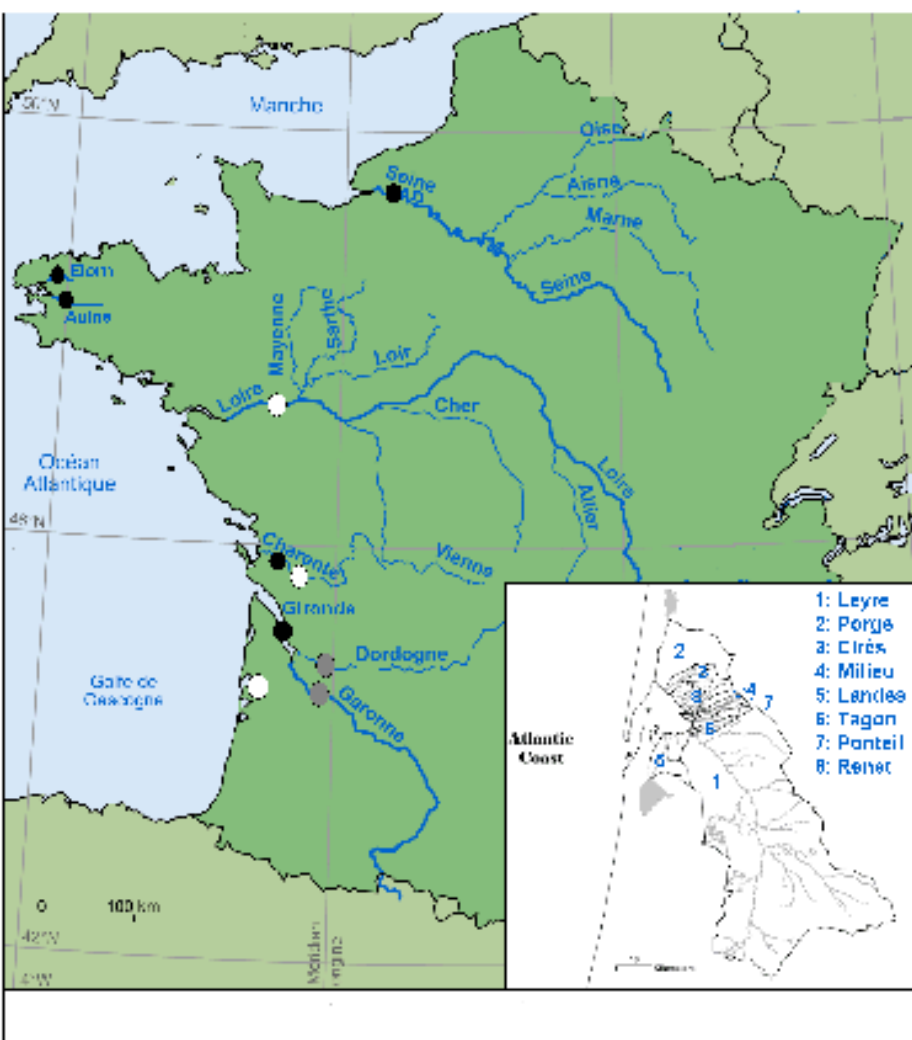
Estuaire salin

Estuaire fluvial

Limite amont de la marée dynamique



Estuaires fluviaux : composition de la MOP - échelle intra-systémique



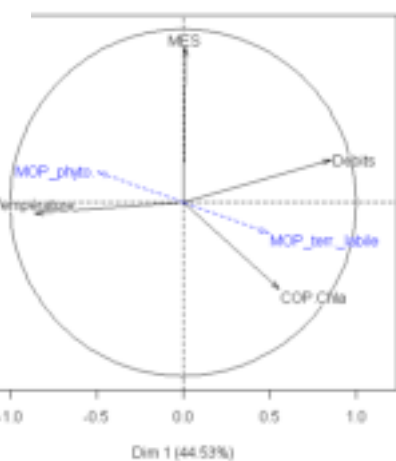
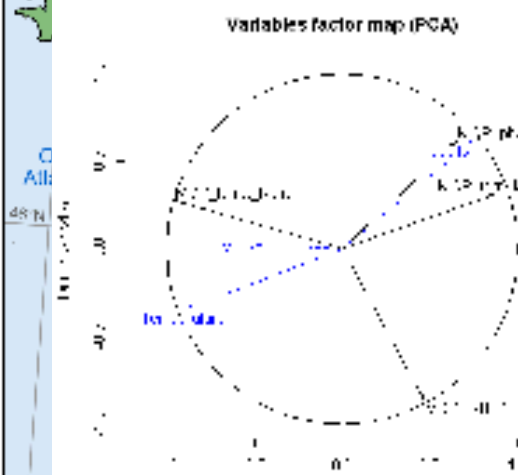
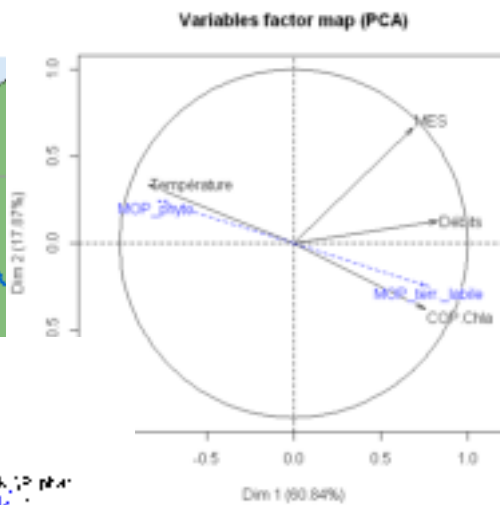
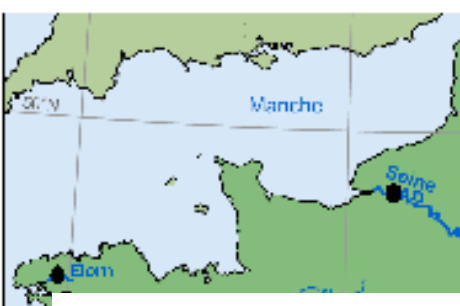
Phytoplancton

MOP terr. labile

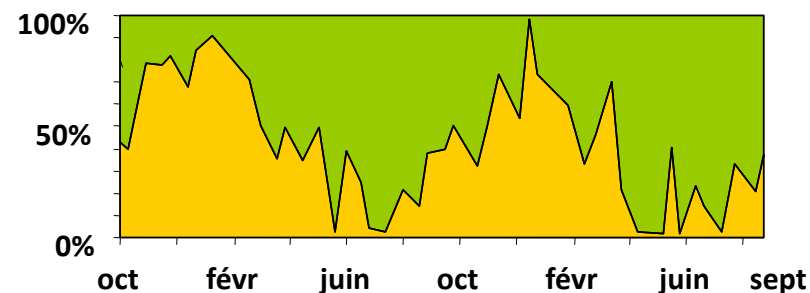
MOP terr. réfractaire

MOP anthropique

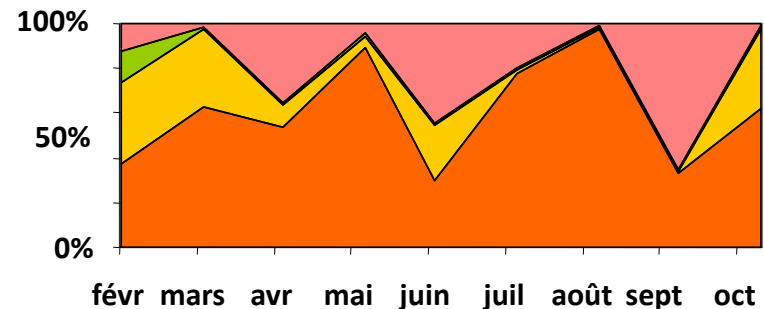
Estuaires fluviaux : composition de la MOP - échelle intra-systémique



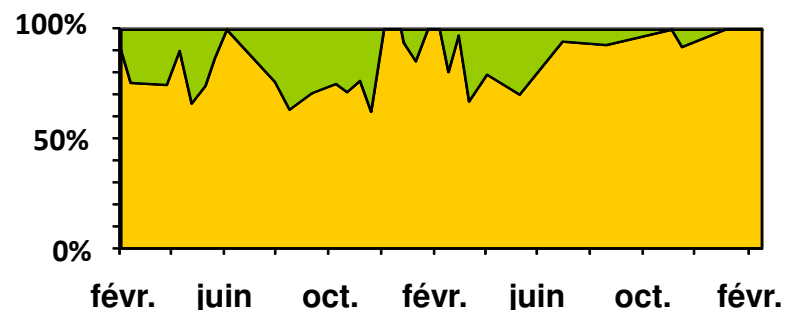
Loire



Garonne



Leyre



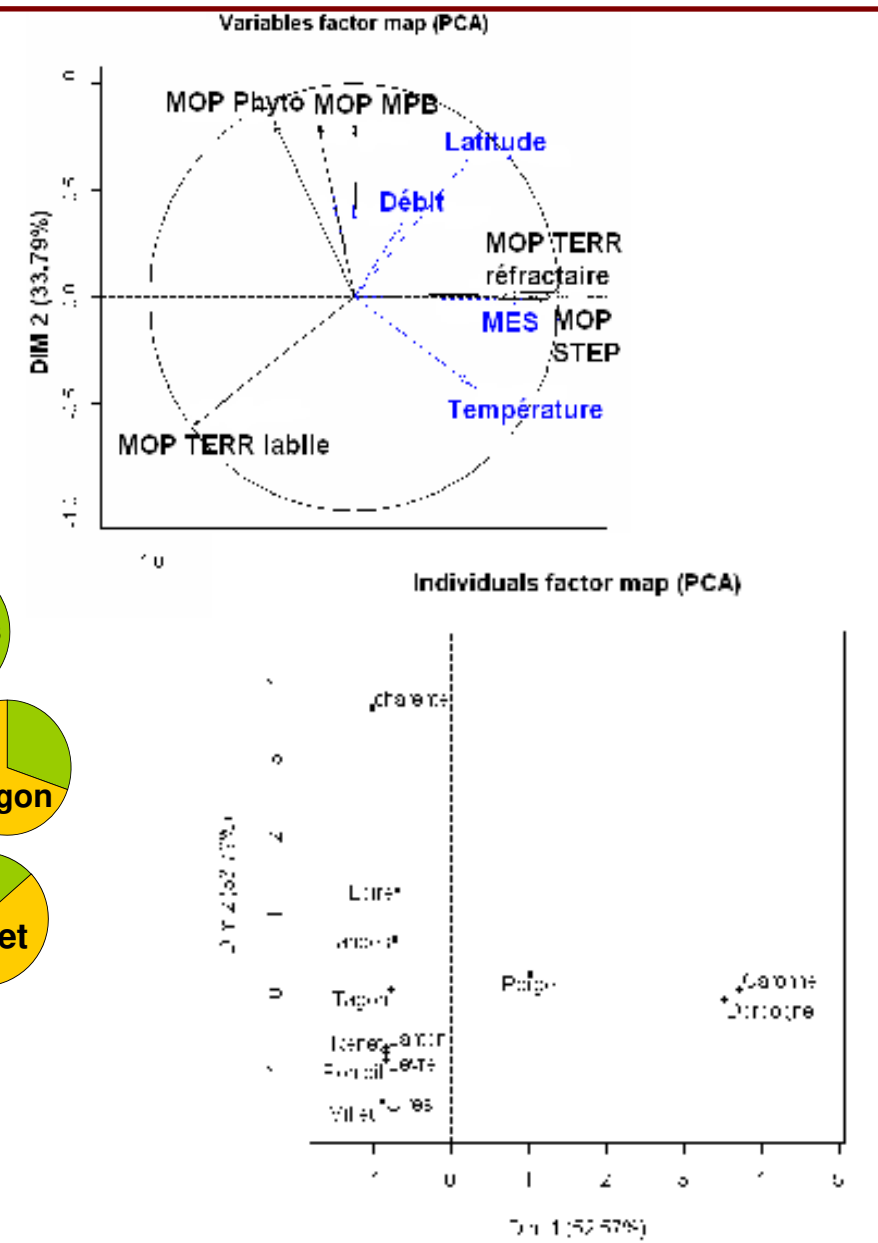
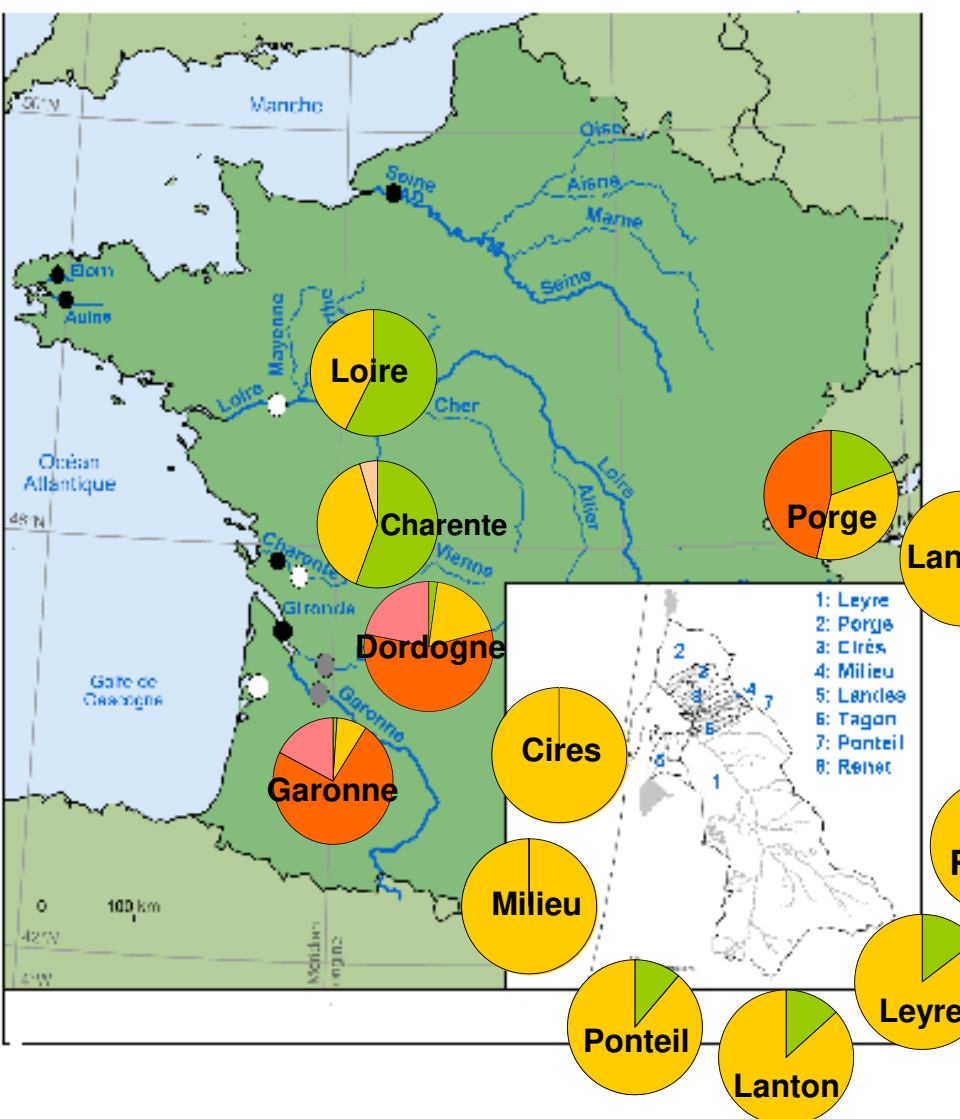
Phytoplancton

MOP

Ictaire

MOP anthropique

Estuaires fluviaux : composition de la MOP - échelle multi-systémique



Phytoplankton

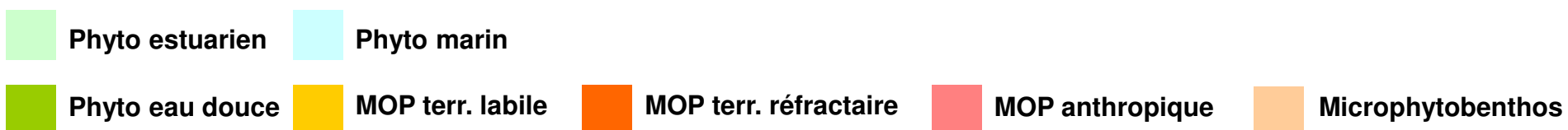
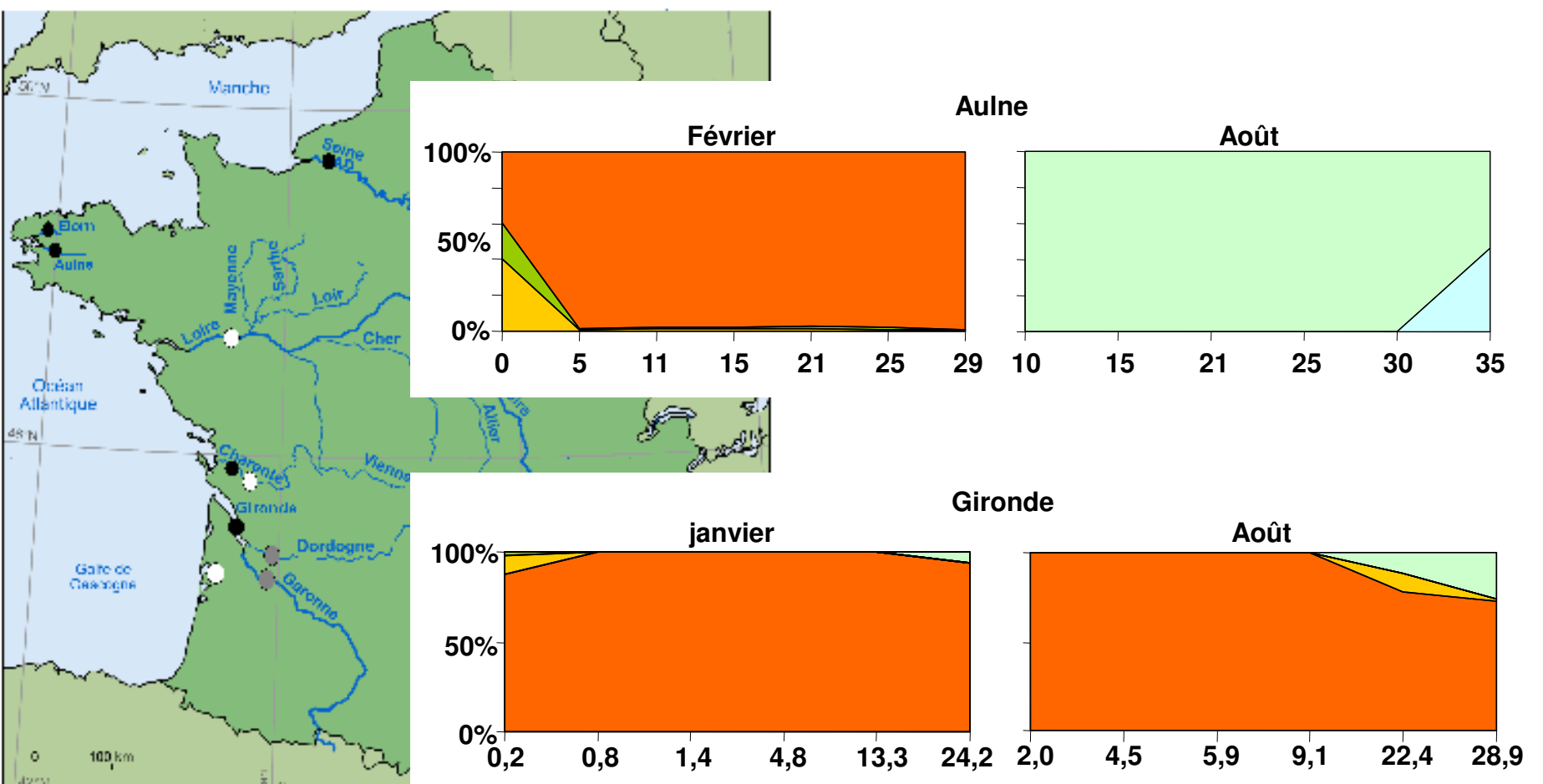
MOP terr. labile

MOP terr. réfractaire

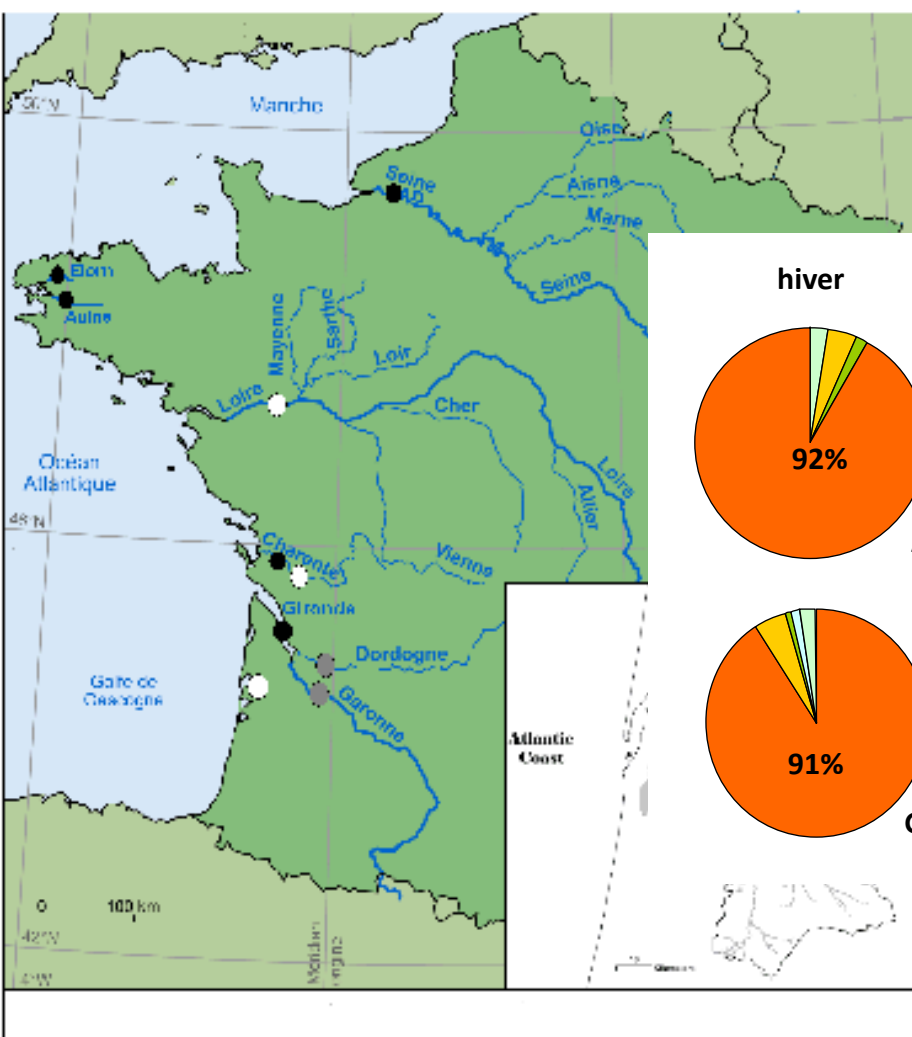
MOP anthropique

Microphytobenthos

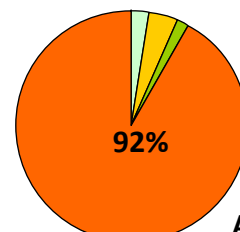
Estuaires halins : composition de la MOP - échelle intra-systémique



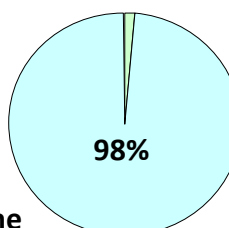
Estuaires halins : composition de la MOP - échelle intra-systémique



hiver

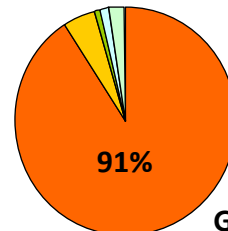


été



Aulne

91%



Gironde

88%

Phyto estuarien

Phyto marin

Phyto eau douce

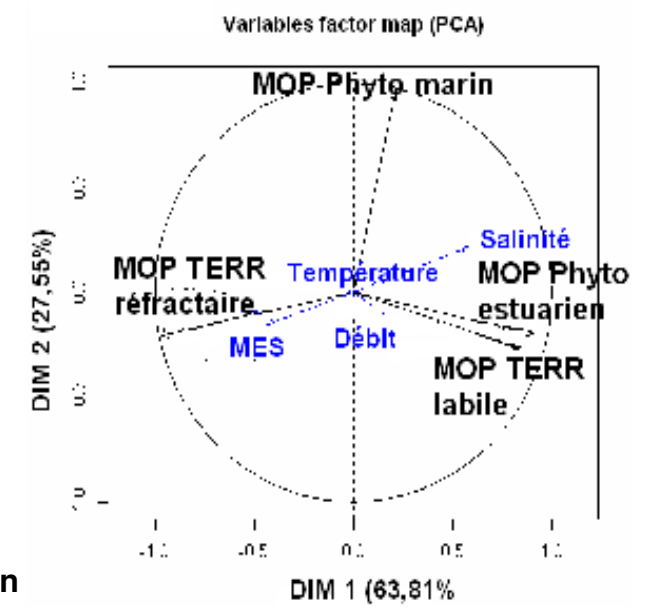
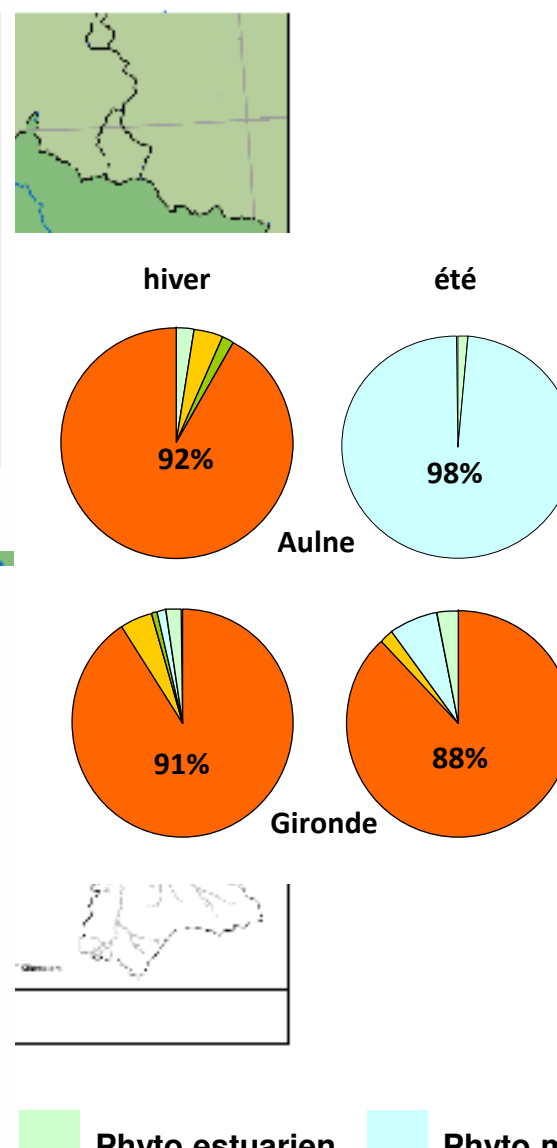
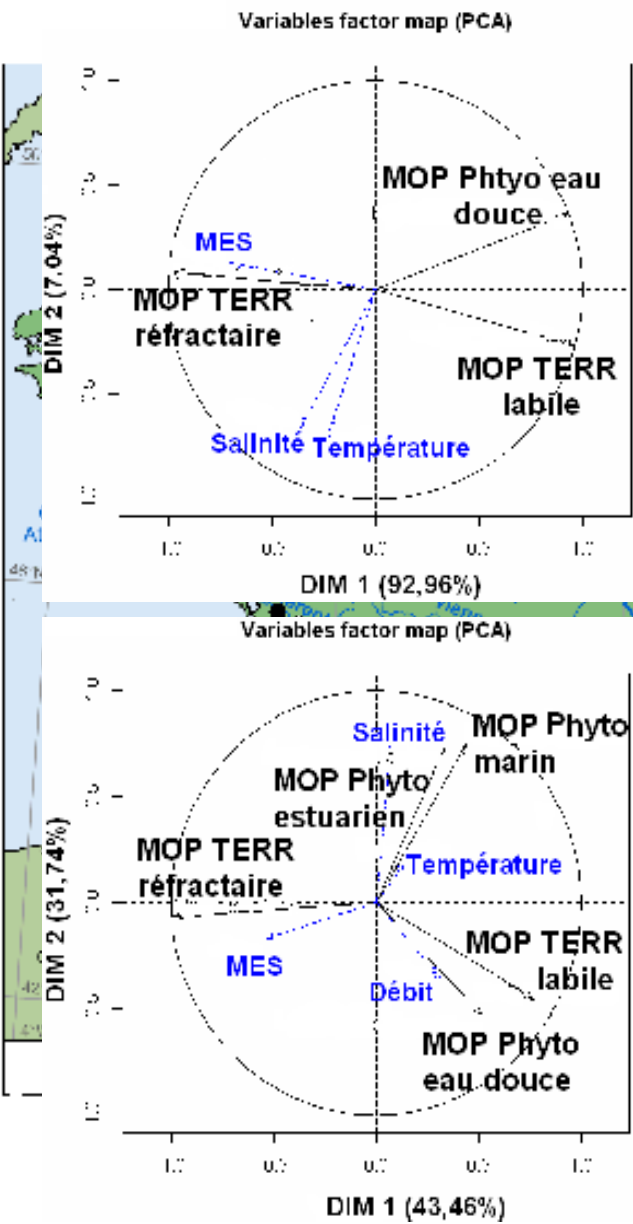
MOP terr. labile

MOP terr. réfractaire

MOP anthropique

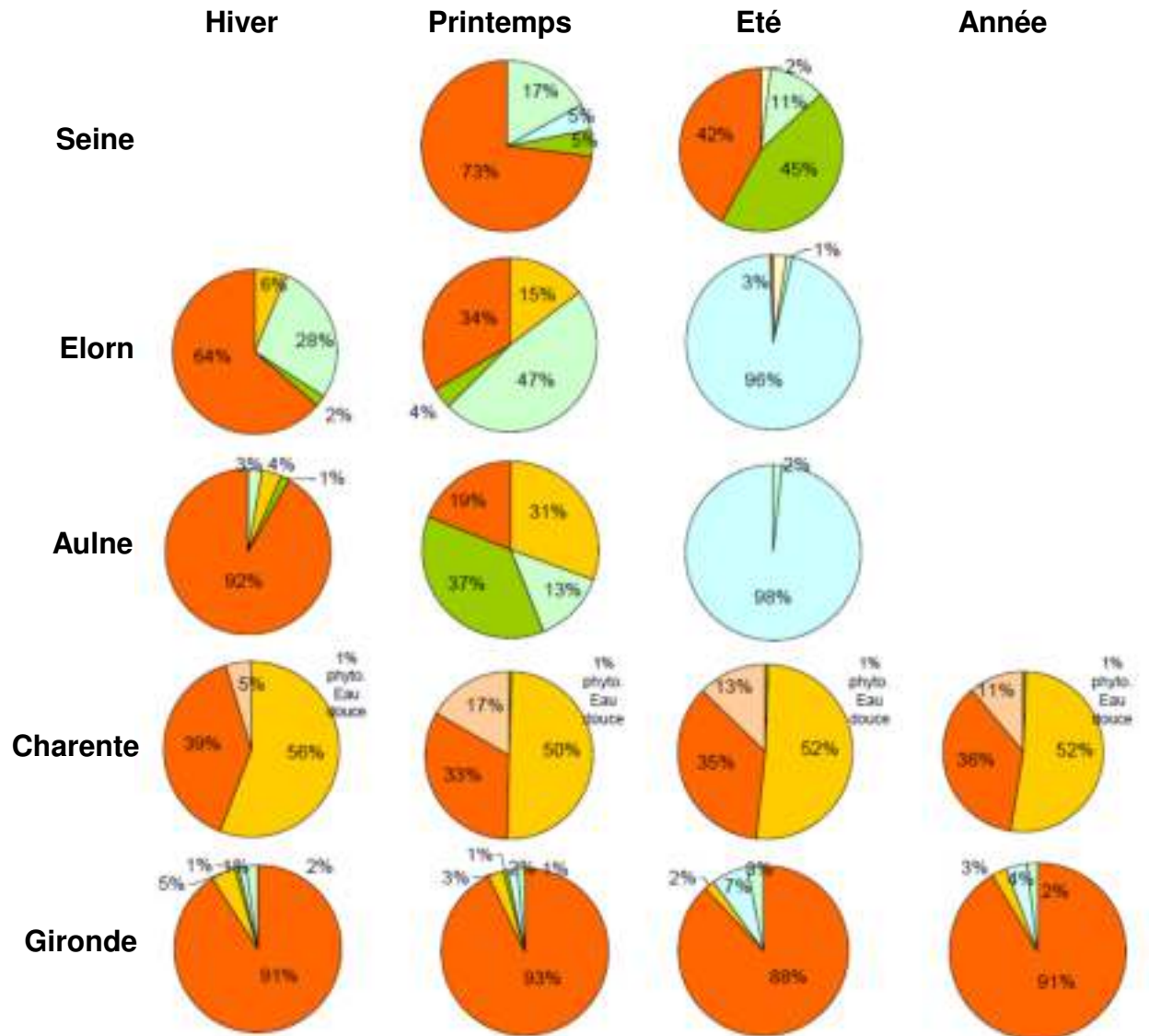
Microphytobenthos

Estuaires halins : composition de la MOP - échelle intra-systémique



Phyto eau douce	Phyto estuarien	Phyto marin
MOP terr. labile	MOP terr. réfractaire	MOP anthropique
Microphytobenthos		

Estuaires halins : composition de la MOP - échelle intra-systémique



Phyto estuarien

Phyto marin

Phyto eau douce

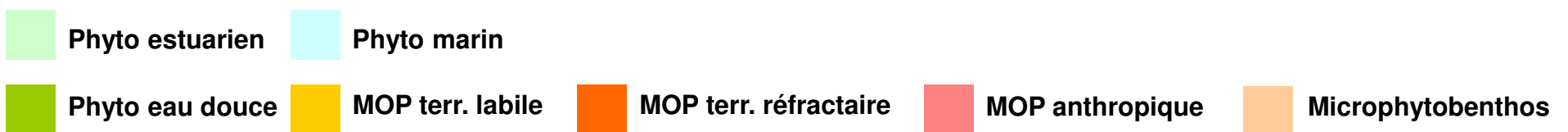
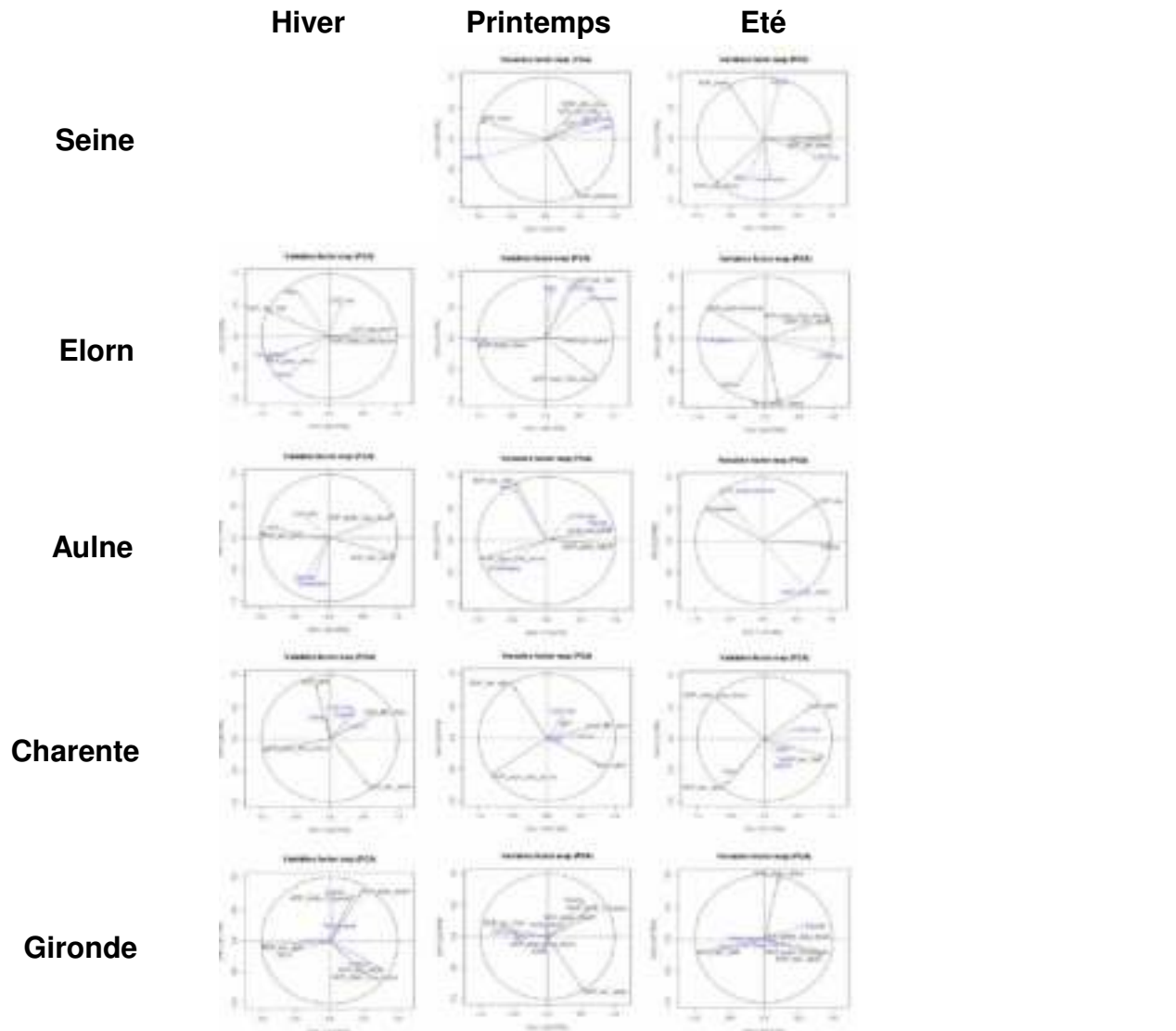
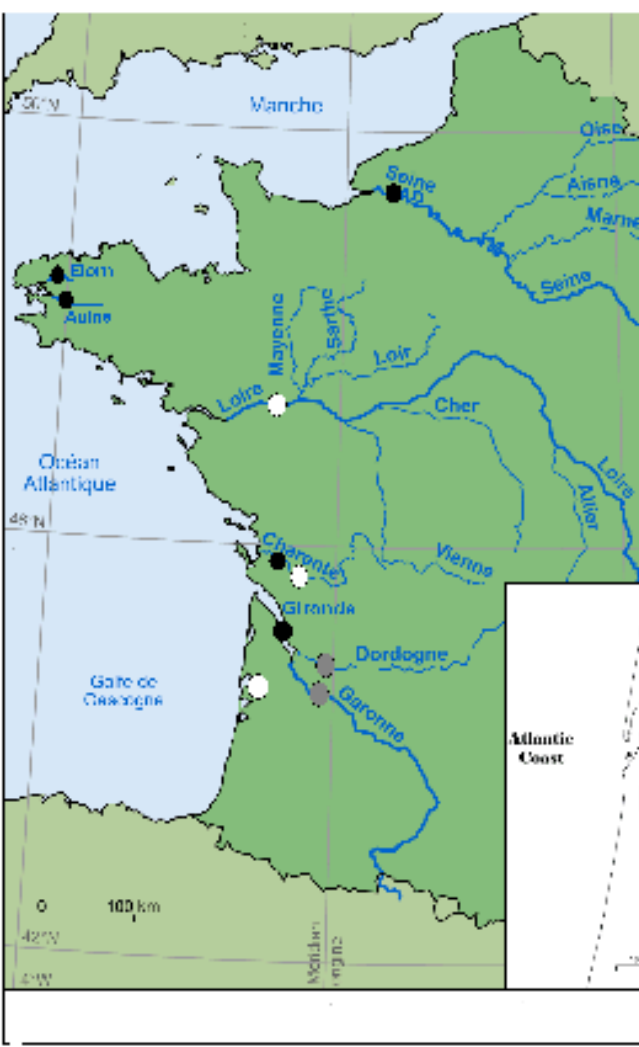
MOP terr. labile

MOP terr. réfractaire

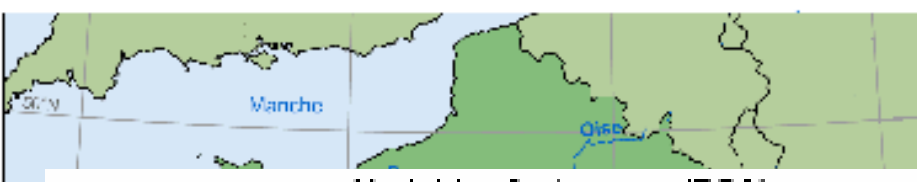
MOP anthropique

Microphytobenthos

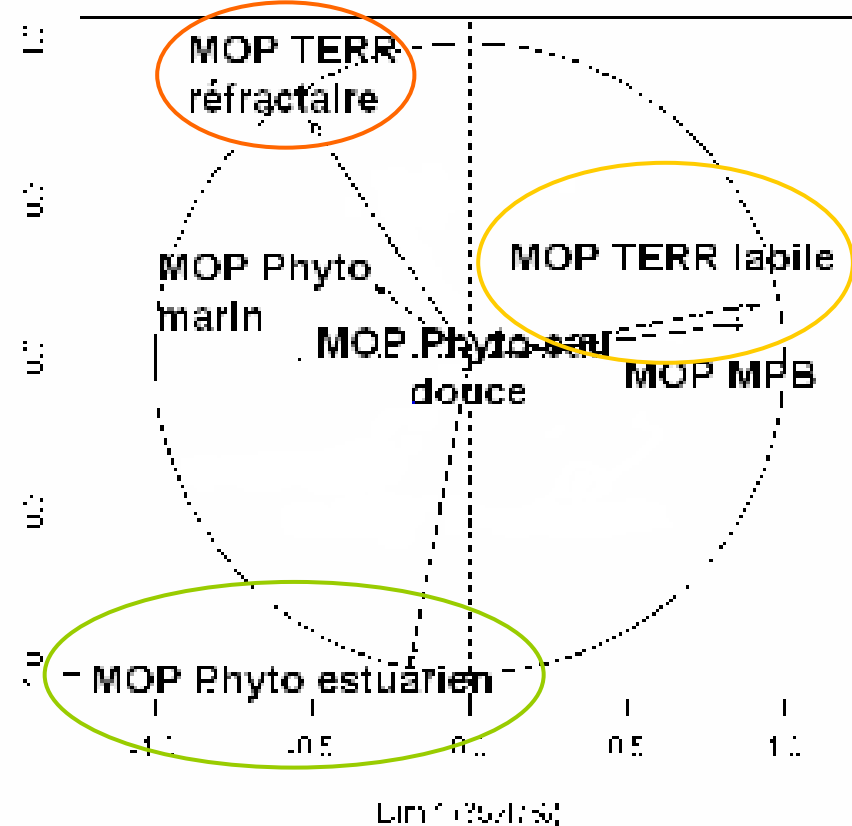
Estuaires halins : composition de la MOP - échelle intra-systémique



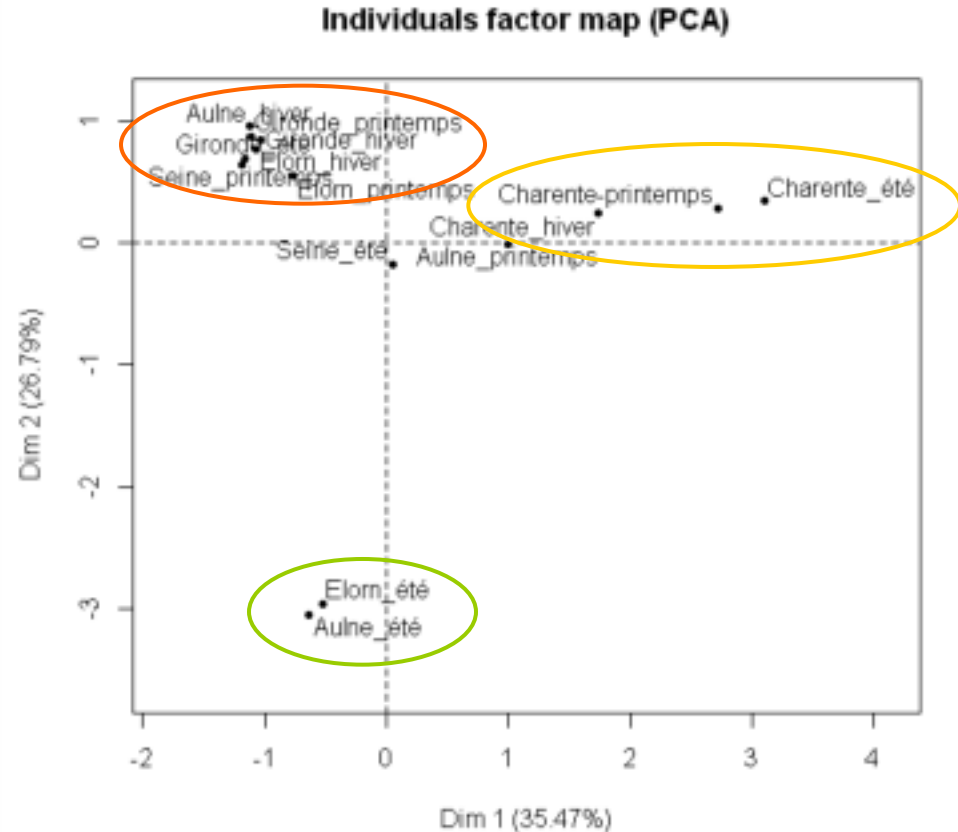
Estuaires halins : composition de la MOP - échelle multi-systémique



Variables factor map (PCA)



Individuals factor map (PCA)

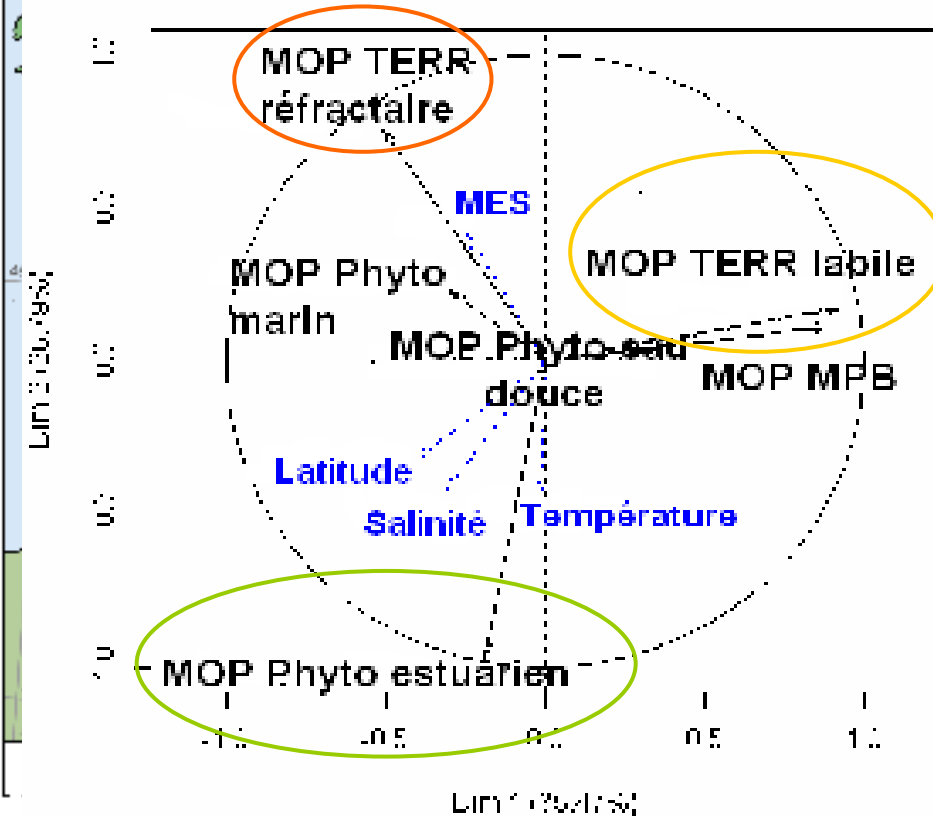


→ Typologies

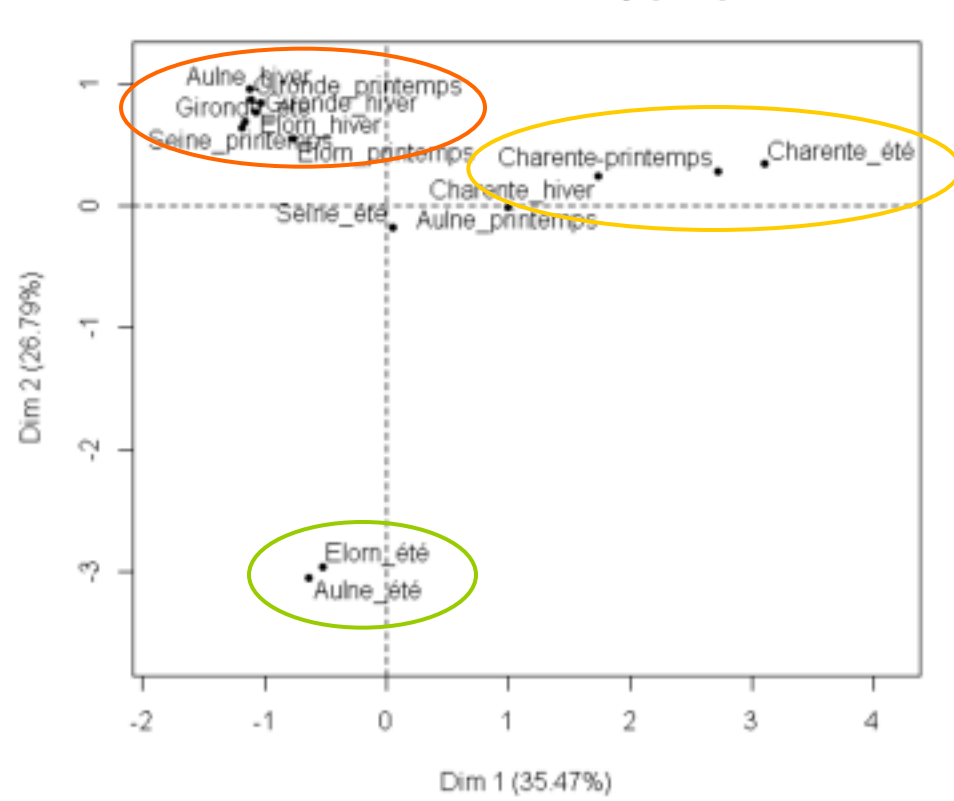
Forçages à la composition de la MOP - échelle multi-systémique



Variables factor map (PCA)



Individuals factor map (PCA)



→ Données hétérogènes

Composition et forçage de la MOP dans les estuaires : une typologie

Estuaires peu turbides.

Seine, Aulne, Elorn,
Loire, tributaires bassin
d'Arcachon, Charente

Estuaires turbides.

Gironde, Charente,
Garonne, Dordogne,

FORTE SAISONALITE

phytoplancton
en été

MOP terrestre
labile en hiver



Température

mélange des masses d'eaux
(estuaires halins)



Hydrodynamique
(Débits)

FAIBLE SAISONALITE

MOP terrestre
labile

MOP terrestre
réfractaire



Hydrodynamique
(Débits)



Hydrodynamique
sédimentaire

mélange des masses d'eaux
négligeable

Figure 2: Summary diagram of the steps of the regionalization method (from Souissi et al. 2000) from contingency tables (station x sources) of each month to the final global cluster. In the present study, 10 cut off levels were considered.

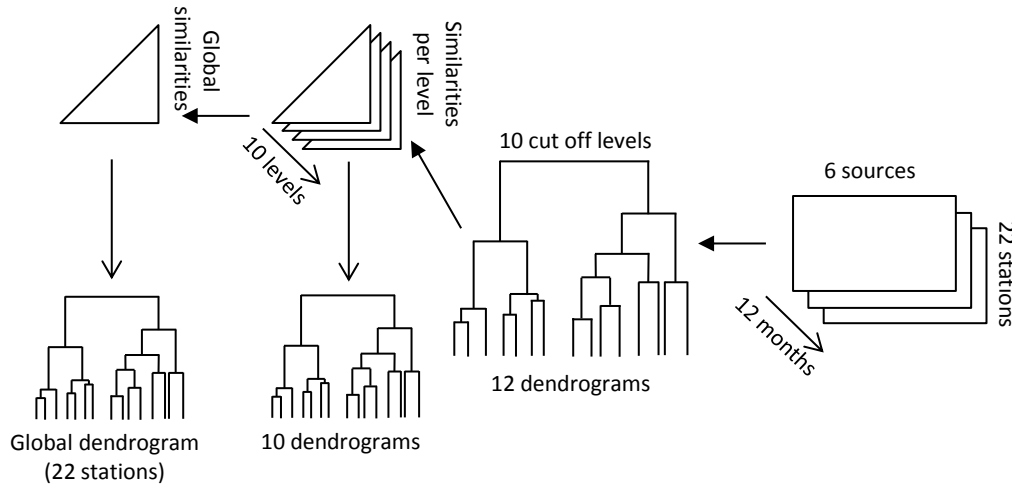
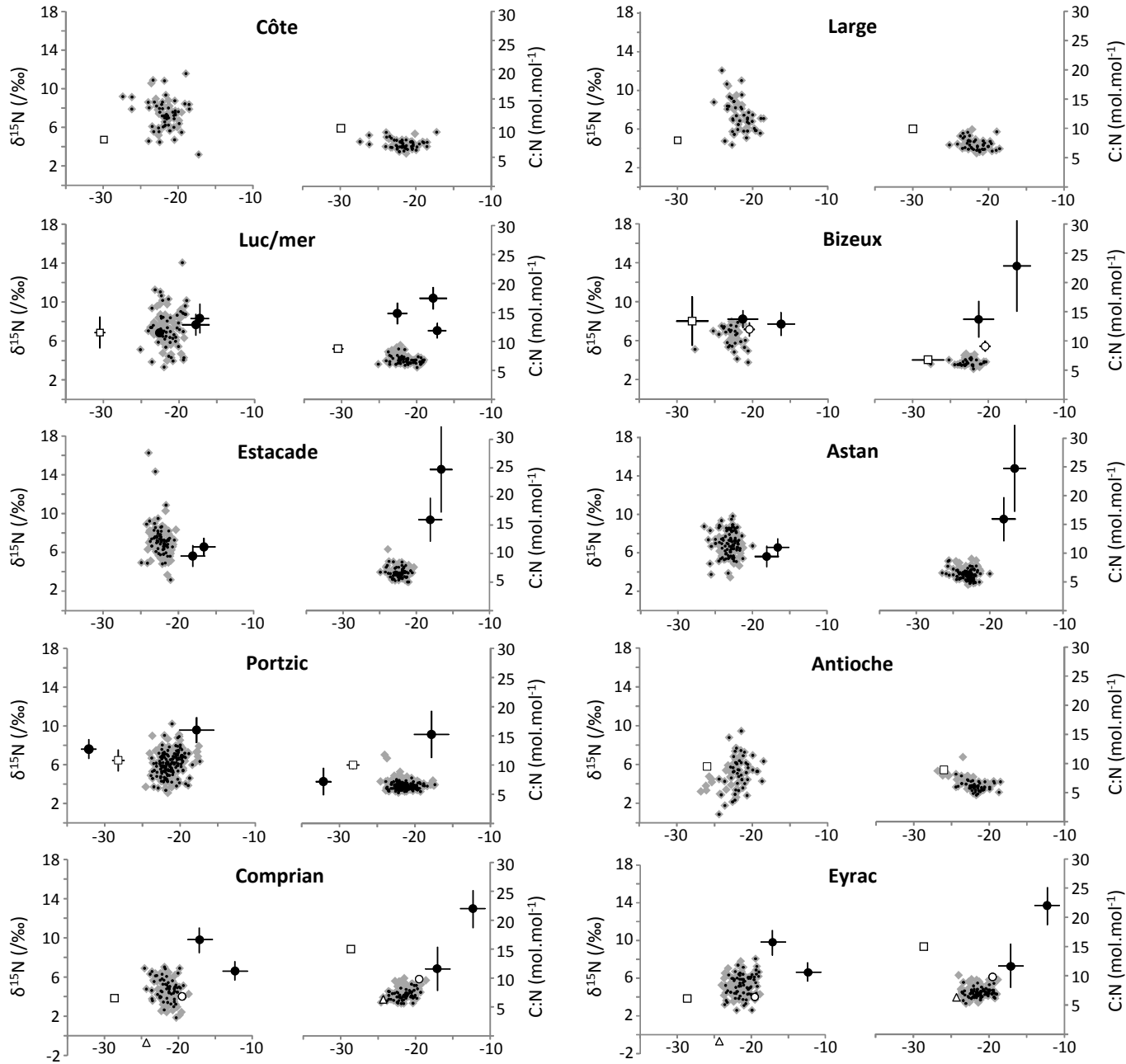


Figure 3: Biplots of elemental (C:N) and isotopic ($\delta^{13}\text{C}$ and $\delta^{15}\text{N}$) ratios of coastal particulate organic matter (POM) and organic matter sources at the studied stations of the littoral systems and embayments.

Due to its large temporal variability and for clearer reading, phytoplankton values estimated by models are not presented but only phytoplankton-dominated POM (POC:Chla < 200 g.g⁻¹) are presented.

Grey diamonds: POM of high POC:Chla ratio (> 200g.g⁻¹; raw data). Grey diamonds with black dots: phytoplankton-dominated POM (POC:Chla < 200g.g⁻¹; raw data). White diamonds: diazotrophs (mean±standard deviation). White squares: river POM (mean±standard deviation of raw data, modelled data and/or weighted data; see section 2.6.2 or Table S3). Black square: POM of Mediterranean oued (mean±standard deviation of raw data). White triangles: anthropogenic POM (mean±standard deviation of raw data at Frioul and of weighted data at Bouée13, Eyrac and Comprian). White circles: microphytobenthos (mean±standard deviation of raw data). Black circles: macrophytes (mean±standard deviation of raw data).

- | | |
|---|--|
| Coastal POM and pelagic primary producers | ◆ Coastal POM (POC:Chla > 200 g.g-1)
◆ Coastal POM dominated by phytoplankton (POC:Chla < 200 g.g-1)
◇ Diazotrophs |
| Continental POM | □ River POM (weighted)
■ Mediterranean 'oued' |
| Benthic primary producers | △ Anthropogenic POM (weighted)
● Macrophytes
○ Microphytobenthos |



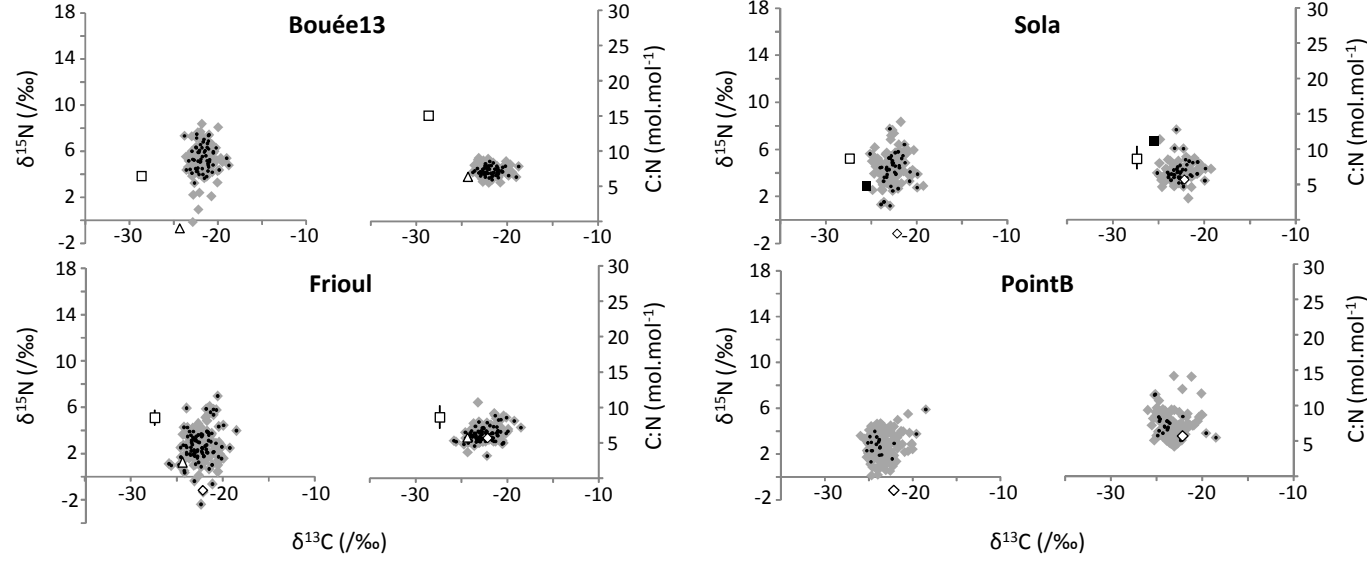
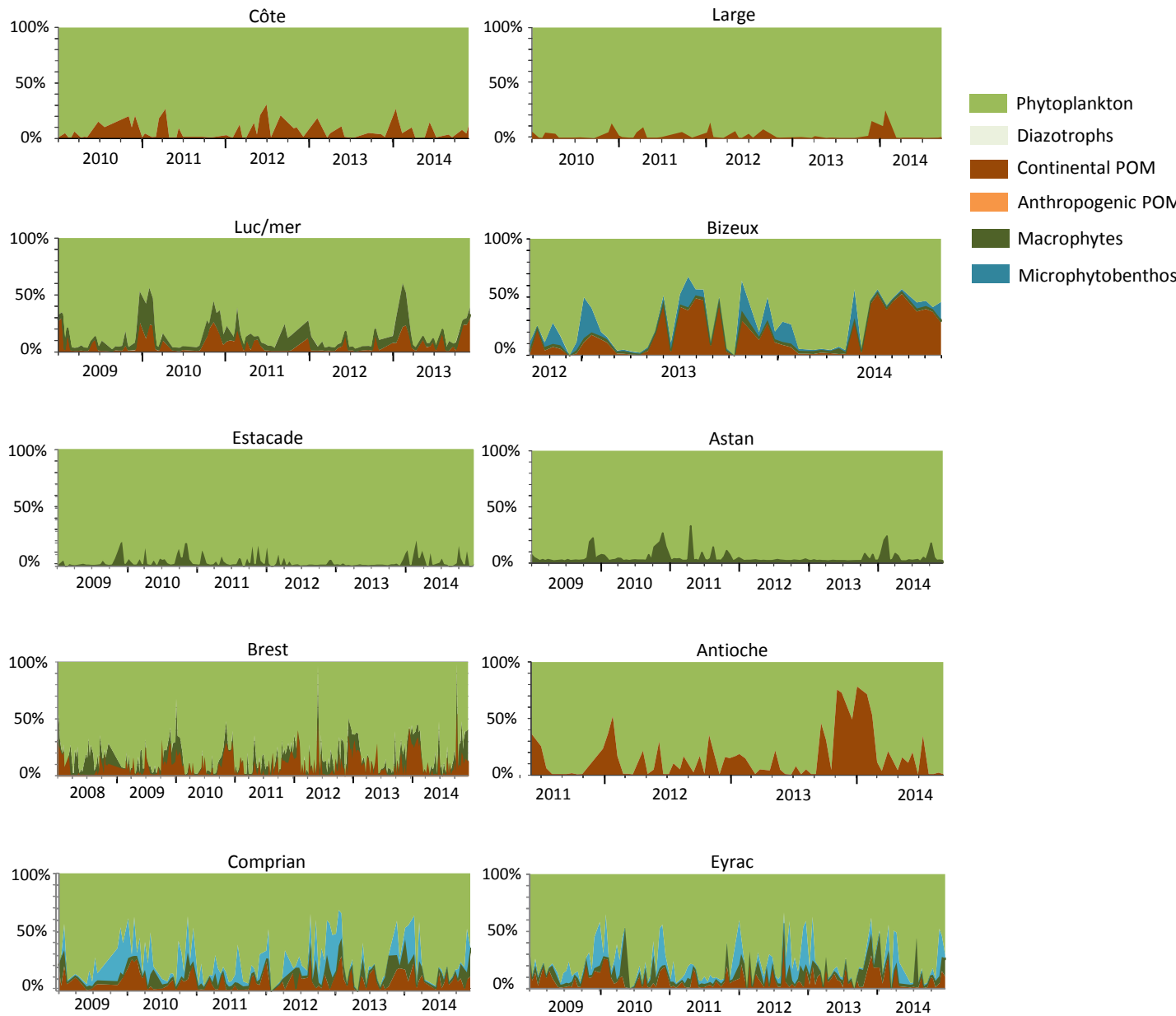


Figure 7: Time series of the contribution of organic matter sources to the coastal POM pool in the littoral systems and embayments.



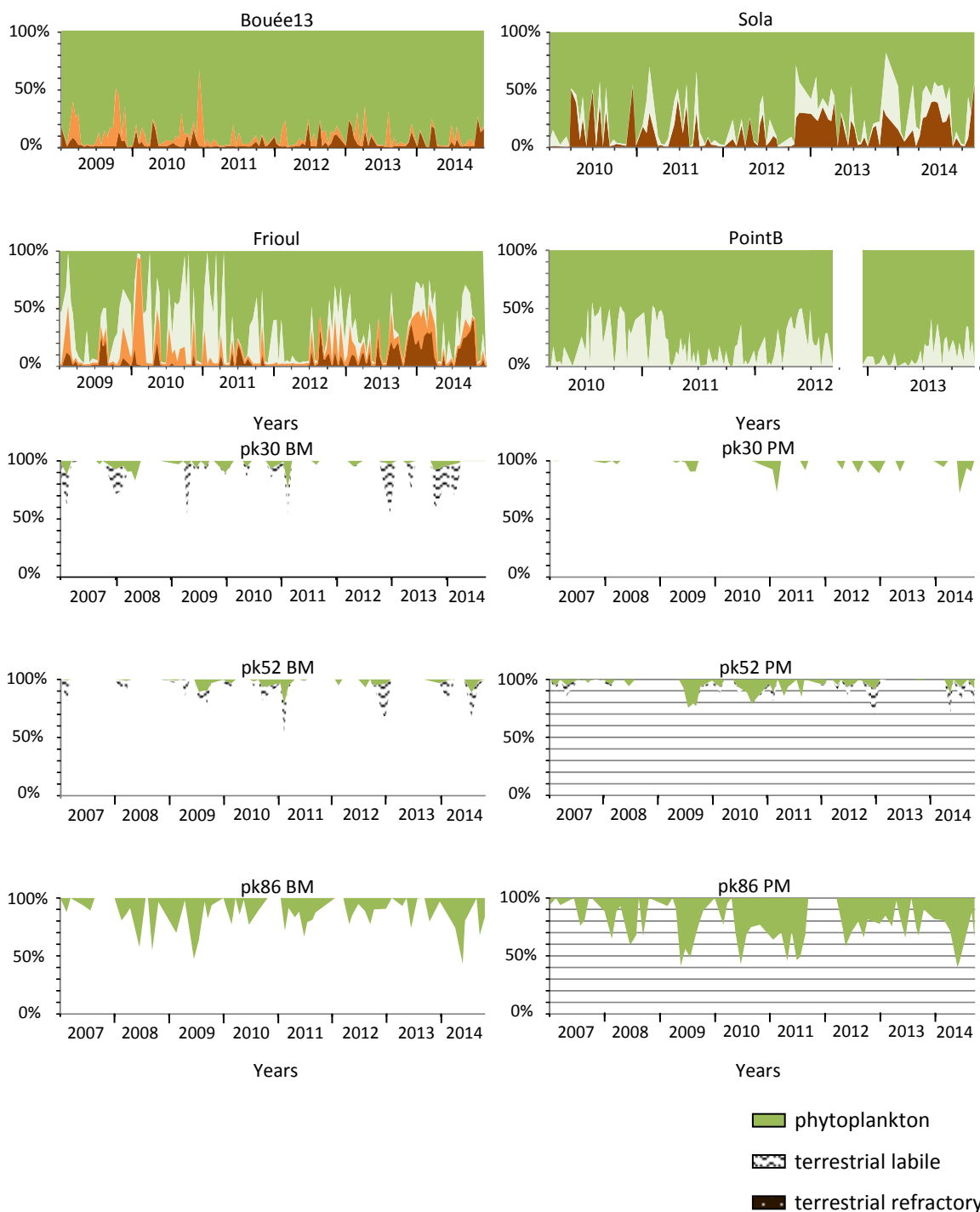
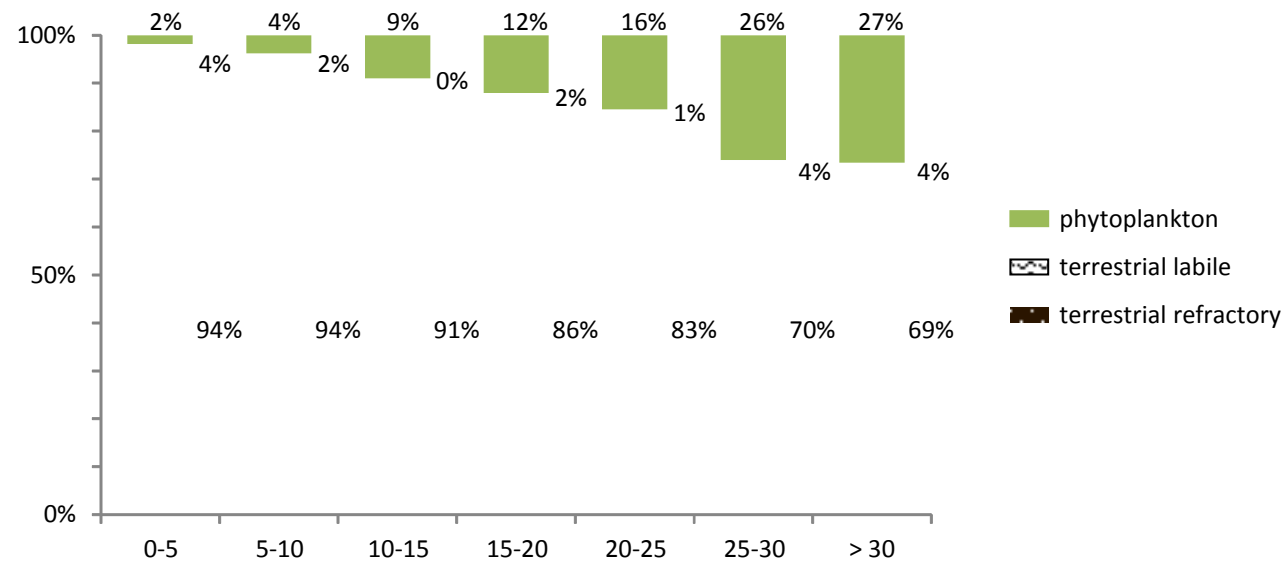


Figure 7: Time series of the contribution of organic matter sources to the coastal POM pool in the Gironde estuary.

Figure 6: Contribution of phytoplankton and labile and refractory terrestrial POM over the salinity gradient of the Gironde estuary.



Tools : elemental and isotopic ratios of C and N (C/N, $\delta^{13}\text{C}$, $\delta^{15}\text{N}$)

Tools : elemental and isotopic ratios of C and N (C/N, $\delta^{13}\text{C}$, $\delta^{15}\text{N}$)

1) Signature of sources considered depending on station

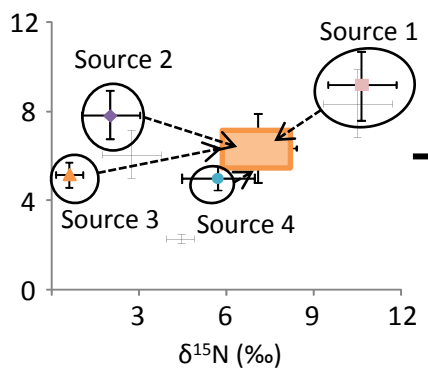
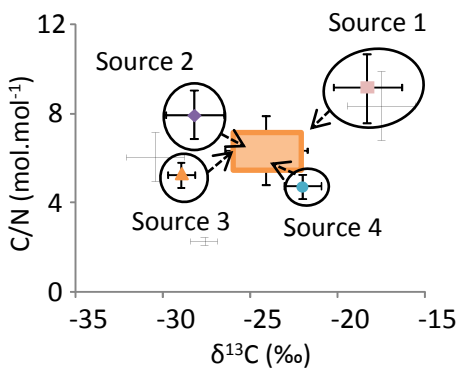
Selected sources	
Phytoplankton	Pelagic primary producers
Diazotrophs	
Macrophytes	Benthic primary producers
Microphytobenthos	
Continental	
Terrestrial	Continental
Anthropogenic	

Tools : elemental and isotopic ratios of C and N (C/N , $\delta^{13}C$, $\delta^{15}N$)

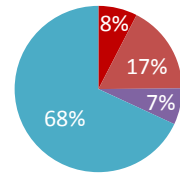
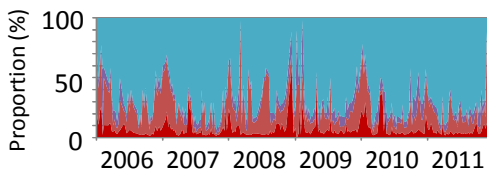
1) Signature of sources considered depending on station

Selected sources	
Phytoplankton	Pelagic primary producers
Diazotrophs	Benthic primary producers
Macrophytes	
Microphytobenthos	Benthic primary producers
Continental	
Terrestrial	Continental
Anthropogenic	

2) Quantify the contribution of each source to the POM pool



Model outputs :
in % and recalculated in [POC]
- date to date
- mean annual values

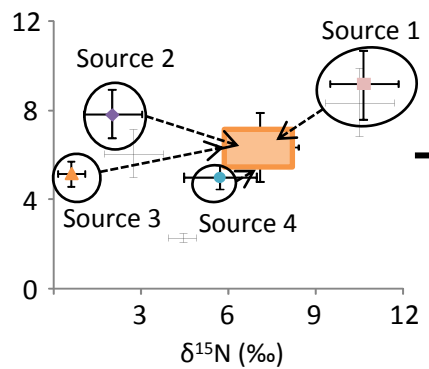
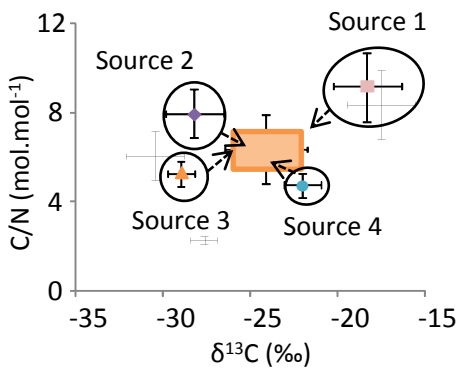


Tools : elemental and isotopic ratios of C and N (C/N , $\delta^{13}C$, $\delta^{15}N$)

1) Signature of sources considered depending on station

2) Quantify the contribution of each source to the POM pool

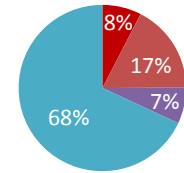
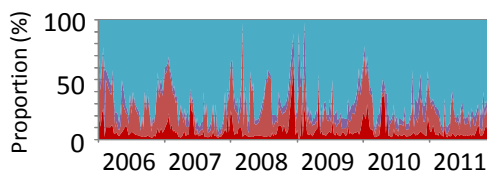
Selected sources	
Phytoplankton	Pelagic primary producers
Diazotrophs	Benthic primary producers
Macrophytes	
Microphytobenthos	primary producers
Continental	
Terrestrial	Continental
Anthropogenic	



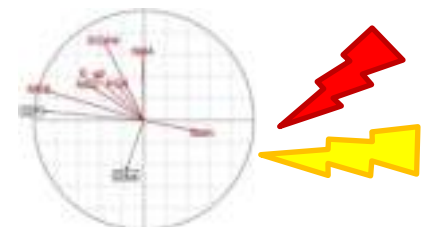
Mixing model (SIAR)

Model outputs :
in % and recalculated in [POC]

- date to date
- mean annual values



3) Forcings to POM composition → Multivariate analysis (RDA)

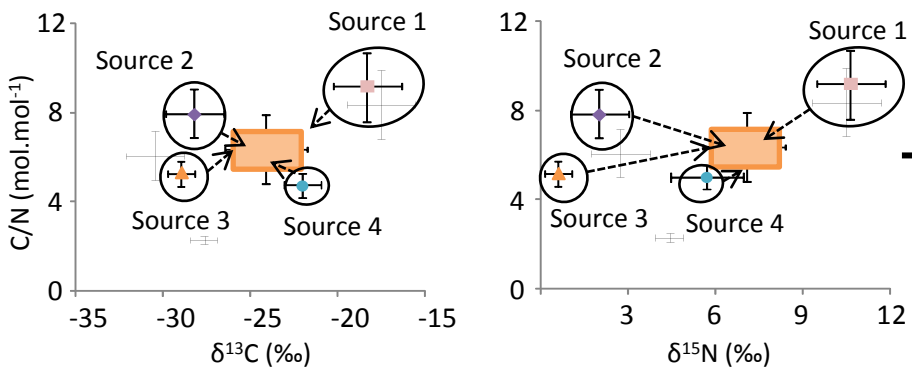


Tools : elemental and isotopic ratios of C and N (C/N , $\delta^{13}C$, $\delta^{15}N$)

1) Signature of sources considered depending on station

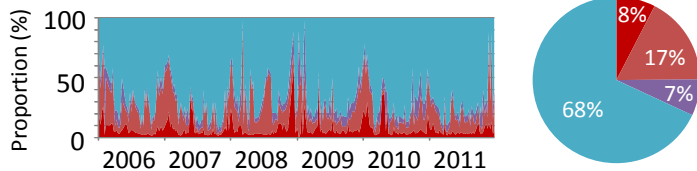
Selected sources	
Phytoplankton	Pelagic primary producers
Diazotrophs	Benthic primary producers
Macrophytes	
Microphytobenthos	Benthic primary producers
Continental	
Terrestrial	Continental
Anthropogenic	

2) Quantify the contribution of each source to the POM pool



Mixing model (SIAR)

Model outputs :
in % and recalculated in [POC]
- date to date
- mean annual values



3) Forcings to POM composition → Multivariate analysis (RDA)

4) Typology based on spatial and temporal variability of POM composition using a regionalization method (Souissi et al 2000)

